

T1847



T.C.
AKDENİZ ÜNİVERSİTESİ
TIP FAKÜLTESİ
ANESTEZİYOLOJİ VE REANİMASYON
ANABİLİM DALI

AKDENİZ ÜNİVERSİTESİ
TIP FAKÜLTESİ
ANESTEZİYOLOJİ VE REANİMASYON
ANABİLİM DALI

**TEK TARAFLI AKCİĞER HASARI OLAN RATLARDA
DEĞİŞİK MEKANİK VENTİLASYON
STRATEJİLERİNİN HEMODİNAMI, OKSİJENİZASYON,
HAVAYOLU BASINÇLARI VE AKCİĞER HASARI
AÇISINDAN KARŞILAŞTIRILMASI**

UZMANLIK TEZİ

Dr. Bülent Naci KANEVETÇİ

Tez Danışmanı: Doç. Dr. Levent DÖŞEMECİ

" Kaynakça Tezimden Gösterilerek Yararlanılabilir "

Antalya,2005

TEŞEKKÜR

Akdeniz Üniversitesi Tıp Fakültesi Anesteziyoloji ve Reanimasyon Anabilim Dalı'nda uzmanlık eğitimim sırasında bilgi ve tecrübelerini esirgemeyen başta Anabilim Dalı Başkanımız Prof. Dr. Atilla RAMAZANOĞLU olmak üzere, Reanimasyonda tez çalışmalarım sırasında yaptığı değerli katkılarından dolayı Doç. Dr. Levent DÖŞEMECİ, Yard. Doç. Dr. Murat YILMAZ, Uzm. Dr. Melike CENGİZ ve eğitimime emeği geçen tüm hocalarımı, birlikte çalıştığım uzman ve araştırma görevlisi hekim arkadaşlarımı, ameliyathane ve reanimasyonlarda görevli tekniker, hemşire ve personel arkadaşlarımı,

Ve uzmanlık eğitimim süresince benden hiçbir destegini esirgemeyen sevgili aileme,

Çok teşekkür ediyorum...

Dr. Bülent Naci KANEVETÇİ

Antalya, 2005

İÇİNDEKİLER

Sayfa No:

SİMGELER VE KISALTMALAR DİZİNİ	iv
ŞEKİLLER DİZİNİ	v
ÇİZELGELER DİZİNİ	vi
1.GİRİŞ	1
2.GENEL BİLGİLER	3 - 19
2.1. Tek taraflı akciğer hastalığı	5
2.2. Mekanik ventilasyona bağlı oluşan akciğer hasarının sebepleri	7
2.2.1. Barotravma	11
2.2.2. Volütravma	12
2.2.3. Sürfaktan miktarının azalması ve disfonksiyonu	14
2.2.4. Biyotravma	15
2.3. Mekanik ventilasyona bağlı gelişen akciğer hasarı patofizyolojisi	15
2.4. VILI'de patolojik değişiklikler	16
2.5. Ventilatöre Bağlı Akciğer Hasarını Önlevici Tedbirler	18
2.6. Akciğerleri Koruyucu Mekanik Ventilasyon	19
3.GEREÇ VE YÖNTEM	20 - 23
3.1. Anestezi	20
3.2. Kateterizasyon	20
3.3. Trakeostomi ve tek taraflı kimyasal akciğer hasarının oluşturulması	21
3.4. Ventilasyon grupları	21
3.5. Patolojik değerlendirme	23
3.6. İstatistiksel analizler	23
4. BULGULAR	25 - 38
5. TARTIŞMA	39 - 46
SONUÇLAR	47 - 49
ÖZET	50 - 51
KAYNAKLAR	52 - 57

SİMGELER VE KISALTMALAR

ARDS	Akut Respiratory Distress Syndrome
CPAP	Continous positive airway pressure
DTPA	Dieilenetriaminpentaasetikasit
Fi O₂	İspiratuvar oksijen fraksiyonu
FRC	Functional residuel capacity
HCl	Hidroklorik asit
HCO₃	Bikarbonat
HFO	High frequency ossilation
MAP	Orta arter basıncı
MV	Mekanik Ventilasyon
PaO₂	Parsiyel arteriyel oksijen basıncı
PaCO₂	Parsiyel arteriyel karbondioksit basıncı
PAF	Platelet activating factor
PEEP	Positive end-expiratory pressure
PIP	Peak inspiratuar pressure
PNL	Polimorf nüveli eritrosit
Ppeak	Peak basıncı
PVR	Pulmoner vasküler basınc
P-V	Basınc-volum
VILI	Ventilatory induced lung injury
ZEEP	Zero end-expiratory pressure

ŞEKİLLER DİZİNİ

<u>Sekil</u>	<u>Sayfa</u>
4.1. Atelektazi alanları	32
4.2. Atelektazi ve alveoler ödem	32
4.3. Yoğun perivasküler kanama	33
4.4. Peribronşiyal ödem alanları	33
4.5. Perivasküler ödem	34
4.6. Minimal intraalveoler PNL infiltrasyonu	34
4.7. Yoğun konjesyon alanları	35
4.8. Minimal interstisyel PNL infiltrasyonu	35
4.9. Peribronşiyal alanda yoğun perivasküler alanda minimal lenfosit infiltrasyonu	36
4.10. Grup-1'e ait akciğer patolojik piyesinin makroskopik görünümü	37
4.11. Grup-2'ye ait akciğer patolojik piyesinin makroskopik görünümü	37
4.12. Grup-3'e ait akciğer patolojik piyesinin makroskopik görünümü	38

ÇİZELGELER DİZİNİ

<u>Cizelge</u>	<u>Sayfa</u>
4.1. Kan gazi parametreleri	25
4.2. Hemodinamik veriler	26
4.3. Havayolu basıncıları	26
4.4. Sağ akciğere ait patolojik bulgular	27
4.5. Sol akciğere ait patolojik bulgular	28

1.GİRİŞ

Mekanik ventilasyon yoğun bakım ünitelerinde yatan ve solunum destegine ihtiyaç duyan hastalarda uzun yıllardır kullanılan bir tedavi yöntemidir. Özellikle pozitif basınçlı mekanik ventilasyon kullanılmaya başlandığı 1950'li yıllarda bu yana büyük gelişmeler kaydetmiştir. Buna rağmen, deneyel çalışmalarдан elde edilen bilgiler, amacı hayat kurtarmak olan mekanik ventilasyonun akciğerlerde ek hasarlara neden olabileceğini göstermektedir.

Uzun yıllar mekanik ventilasyona bağlı akciğer hasarı, barotravmaya bağlı hava kaçağı, yani pnömotoraks olarak bilindi. Ancak yapılan araştırmalar, mekanik ventilasyon sırasında daha küçük fizyolojik ve morfolojik değişiklikler olabileceğini göstermiştir. Son yıllarda yapılan deneyel çalışmalarla, akciğerlerde meydana gelebilen bu değişiklikler hakkında daha fazla bilgi edinilmeye başlanmıştır (1). Bu durum, mekanik ventilasyonda uygulanan tidal volümler ve havayolu basınçlarını sınırlamaya yönelik bir takım yeni stratejilere yönelinmesine neden olmuştur. Mekanik ventilasyonun en çok rastlanan ve tartışılan komplikasyonları; normal solunum ve kardiyovasküler fonksyonları bozması (2), ventilatöre bağlı akciğer hasarı oluşturmasıdır (3). Bu yan etki ve komplikasyonlar, kullanılan mekanik ventilasyonun moduna ve parametrelerine bağlı olarak gelişir. Mekanik ventilasyon modlarıyla ilgili yoğun çalışmalara rağmen birbirlerine kesin üstünlüğü gösterilememiş, uygun yerde, uygun parametrelerle kullanıllarının daha doğru olduğu, kullanılan parametrelerin son derece önemli olduğu vurgulanmaktadır.

Akciğerleri mekanik ventilasyonun zarar verici etkisinden korumak ve hastaların hayatı kalım ve iyileşme oranlarını yükseltmek amacıyla koruyucu mekanik ventilasyon stratejileri geliştirilmesi fikri kabul görmüş ve araştırmalar bu yönde sürdürmüştür. Bu amaçla çeşitli koruyucu ventilasyon stratejileri geliştirilmiştir.

Biz bu çalışmayı tek akciğer hasarı olan hastalarda, hangi tidal volümle ve PEEP değeri ile sağlam akciğer üzerine mekanik ventilasyonun histopatolojik olarak daha az zarar vereceğini, bu ventilasyon stratejilerinin oksijenizasyon, hemodinamik parametreler ve havayolu basınçları üzerine olan etkilerini araştırmayı amaçladık.

2. GENEL BİLGİLER

Yüksek olmayan havayolu basınçlarıyla ventile edilen hayvanlarda, akciğer hasarı görülmeyip, yüksek basınçlarla ventile edilenlerde atelektazi ve akciğer ödemi ile karşılaşılması mekanik ventilasyonun her şartta akciğer hasarı oluşturacak bir uygulama olmadığı, yüksek havayolu basınçlarıyla uygulanması durumunda böyle bir riski ortaya çıkaracağı fikrini doğurmuştur.

Hayvanlarda, mekanik ventilasyonu takiben, akciğer sıvı dengesinde, endotelyal ve epitelyal geçirgenlikte değişiklikler ve ciddi doku hasarı gelişmiştir. Mekanik ventilasyonun indüklediği akciğer ödeminin hidrostatik basınç artışına mı, yoksa alveolo-kapiller geçirgenliğin bozulmasına mı bağlı olduğu önemli bir tartışma konusu olmuştur. Webb ve Tierney ödemden hidrostatik mekanizmaların sorumlu olduğunu iddia etmişlerdir (4).

Yapılan çalışmalarda yeterli gaz değişimi sağlanırken, yüksek basınç ve volümelerden kaçınmak yanında, çok düşük volümlerin ve yüksek yüzdeli oksijen kullanımından da kaçınılması gereği vurgulanmaktadır (5). Yüksek tidal volüm ve yüksek "peak" inspiratuar basınçlarda (peak inspiratuar pressure-PIP) ventilasyonun akciğer kompliyansında düşmeye ve gaz değişiminde bozulmaya sebep olduğu gösterilmiştir (1). Düşük volümler ile ventilasyonun da, her inspirasyon-ekspirasyonda alveollerin açılıp kapanması ve sürütmeye bağlı hasar yaptığı da bilinmektedir (6). Daha da önemlisi, mekanik ventilasyonun kendisinin de, atelektazi, pulmoner ödem, fibrozis, kısapası akut akciğer hasarına yol açtığını gösterilmesidir (1). Önceden hasarlanan akciğerler, mekanik ventilasyon uygulanması sonucu oluşabilecek akciğer hasarına daha duyarlı hale gelmektedir (7). Yüksek pik inspirasyon basıncı (Ppeak), özellikle bronş epiteli ve kapiller endotelinde yapısal hasara neden olur, yüksek tidal volümler ise aşırı gerilme ve alveol epitel hasarı ve yırtılmasına, parankim

içine hava kaçmasına neden olur.

Yüksek tidal volüm ile PEEP olmadan ventilasyon havalandan alanı azaltır ve giderek mekanik farklılığı doğurur. Böylece bu non-homojen yapı sağlıklı, genişleyebilen alanların aşırı gerilmesine neden olur, sonuçta sağlam akciğer alanlarında da ödem artışına neden olur.

Uygun mekanik ventilasyon modlarıyla ve parametreleriyle akciğerlerin açık tutulması ve ventile edilmesi, solunum ve dolaşım sistemi üzerine olan yan etkilerini ortadan kalkması ile kalmaz, oksijenasyonu düzeltirken aynı zamanda mekanik ventilasyona bağlı oluşabilecek akciğer hasarını da önler (1). Lachmann'ın akciğeri aç ve açık tut prensibine uygun olarak tidal volüm azaltılıp, yüksek PEEP uygulayarak alveollerin açılıp açık tutulması en popüler mekanik ventilasyon stratejilerinden birisidir. (8)

Amato ve ark. 6 ml/kg tidal volüm kullanılarak alt infleksiyon noktasının 2 cmH₂O üzerinde eksipiryum-sonu pozitif basınç (Positive End-Expiratory Pressure:PEEP) ve aralıklı olarak 40 cmH₂O basınçla kazandırma manevrası uygulayarak (aletten ayırma ve aspirasyon dönemlerinde) gerçekleştirdikleri stratejinin mortaliteyi azalttığını göstermişlerdir (9).

Mekanik ventilasyon, yüksek basınç ve yüksek tidal volümlerde kullanıldığı zaman permeabilite artışına bağlı pulmoner ödem oluşturur. Gelişen pulmoner ödem ekstravasküler sıvının akciğer içine dolmasından kaynaklanır ve alveollerde albuminden zengin (eksüda) sıvı birikir. Buna benzer olarak normal tidal volüm ve yüksek PEEP uygulandığında da aynı şekilde ödem gelişebilir. PEEP'in etkisi burada tam olarak anlaşılamamıştır ama FRC'yi artırdığı için olumlu yöndedir. Dreyfus ve ark. 18 hayvanda yaptıkları çalışmada, FRC'yi artırmak için giderek artan tidal volümlerde hayvanları ventile etmişler. Bu amaçla ZEEP ile başlayıp giderek artan ölçülerde PEEP uygulamışlar ve PEEP'in iyileştirici etkisi olduğunu görmüşlerdir (10). Fakat ventilasyon sırasında yüksek PEEP uyguladıkları

zaman, sistemik arteriel basıncı düzeltebilmek için dopamin kullanmak zorunda kalmışlardır. Sonuçta, anlamlı düzeyde pulmoner ödem meydana gelmiştir. Mekanik ventilasyonun kardiyovasküler sistem üzerine etkisi; pozitif basınçlı ventilasyon, intrakardiyak basınçları da içeren tüm toraks damarlarında ölçülen basınçları artırır. Artmış vasküler basınçlardan dolayı, kalbe geri dönen kan akımı azalır. Venöz dönüşte azalma, sağ ventrikül dolumunun ve sağ kalbin atım volümünün azalmasıyla sonuçlanır. Yüksek tidal volüm ve yüksek PEEP ile inspirasyon esnasında, alveoller saran pulmoner kapillerler gerilir ve daralır. Sonuçta pulmoner vasküler direnç (PVR) artar. Bu sağ ventrikül afterload'unu artırır. Ayrıca intrakraniyal basınç, intratorasik basınç paralel olarak artabilir (10,11).

2.1. Tek taraflı akciğer hastalığı

- Tek taraflı parenkimal hasar
 - Aspirasyon
 - Pulmoner kontüzyon
 - Pnömoni
 - Masif pulmoner emboli
 - Reperfüzyon akciğer ödemi
 - Asimetrik ARDS
 - Asimetrik pulmoner ödem
 - Tek taraflı atelektazi
- Tek taraflı havayolu tıkanıklıkları
 - Kronik havayolu tıkanıklığı için tek akciğer transplantasyonu
 - Tek taraflı bronkospazm

Tek taraflı akciğer hasarının asimetrik akciğer kompliyansı ile sonuçlanması, hasarlı akciğerde geniş şantın olması, yüksek PEEP ve

yüksek FiO₂ konsantrasyonlarını da içeren standart mekanik ventilasyon stratejilerine dirençli şiddetli hipoksemi ile sonuçlanır. Bu koşullar altında, PEEP hasarlı akciğerde yetersiz açılma ve oksijenizasyonda yetersiz iyileşmeye neden olabilir (18). Aynı zamanda, normal akciğer dokusundaki aşırı havalandırma normal akciğerin pulmoner vasküler direncinin artmasına ve kontralateral olarak kan akımının hasarlı akciğere yönelmesine neden olabilir. Dahası bu aşırı havalandırma, intratorasik basıncı artırabilir, venöz dönüşü azaltabilir ve kontralateral olarak diğer akciğeri sıkıştırabilir ve böylece sağlam akciğerin fonksiyonlarını kötüleştirebilir (28). Bu değişimlerin ardından, sonuçta oksijenizasyon iyileşmediği gibi kombin olarak azalmış kardiyak outputla birlikte azalmış arteriyel oksijenizasyon dokularda azalmış oksijen sunumuna neden olabilir (17).

Tek taraflı akciğer hasarı olan hastalarda, gaz değişimini maksimuma çıkarmak, barotrauma ihtimalini en aza indirmek ve benzer etkileri sağlamak için birçok ventilasyon stratejisi (çeşitli tidal volümler, farklı solunum sayıları, jet ventilasyon, CPAP vb.) denenmiştir.

Tek akciğer obstrüksiyonu; tek akciğer transplantasyonu, astımlı hastalarda tek akciğerin kimyasal veya mekanik hasarı veya ana bronşların bir tanesinin parsiyel oklüzyonu ardından gelişebilir. Bu tip tek akciğer obstrüksiyonu olan hastalarda, standart mekanik ventilasyon ile havayolu obstrüksiyonu olan akciğerde intrinsik PEEP yüksek seviyelere çıkabilir ve aynı zamanda hiperinflasyon meydana gelebilir. Bu durum intratorasik basıncı artırabilir, kardiyak outputu azaltabilir ve normal akciğeri komprese edebilir. Bu etki, tek taraflı parenkimal hasarda, bilateral PEEP'in etkisine benzerdir, ancak burada intrinsik PEEP sadece bir akciğerde oluşur. Bu şartlar altında, hasta ventile edilirken aynı zamanda, tek akciğerin deflasyonunu sağlamak için, hasarlı akciğere azalmış dakika volümü verilmelidir. Bu tip akciğer hasarı olan hastalarda, mekanik ventilasyon uygulanırken özellikle tidal volümler düşük tutulmalıdır. Kullanılacak yüksek tidal volümler, hasarlı akciğerden ziyade sağlam olan

akciğere gidecek ve bu akciğerde barotrauma, volutrauma ve biyotrauma meydana gelecektir. Bir süre sonra sağlam olan bu akciğerde de çeşitli inflamatuvar sitokinlerin salınması sonucu akut respiratuvar distress sendromu benzeri bir tablo meydana gelecektir.

2.2. Mekanik ventilasyona bağlı oluşan akciğer hasarının sebepleri

Mekanik ventilasyon uzun yillardan beri yoğun bakım ünitelerinde tedavi amacıyla kullanılmaktadır. Mekanik ventilasyonun hayatı fonksiyonları destekleyici rolünün yanısıra, direkt akciğer parenkimine ve indirekt olarak da distal organlara etkileri de mevcuttur (10,12,13,14). Hayat kurtaran özelliğine rağmen varolan komplikasyonları nedeni ile klinisyenler tarafından kullanımında ve endikasyonlarında dikkatli olunmalıdır. Bu komplikasyonlar yillardan beri incelenmektedir.

Hayvanlarda, mekanik ventilasyonu takiben, akciğer sıvı dengesinde, endotelyal ve epitelyal geçirgenlikte değişiklikler ve ciddi doku hasarı gelişir. Mekanik ventilasyon ilişkili akciğer hasarındaki (VILI) makroskopik ve mikroskopik hasar diğer deneyel akut akciğer hasarlarındaki yapıya çok benzemektedir (15,16). Daha da önemlisi insanlardaki akut solunum yetersizliği sendromu (Acute Respiratory Distress Syndrome → ARDS)'de gözlenen diffüz alveol hasarından temel olarak farksızdır (17). Bu nedenle insanda meydana gelen VILI, mekanik ventilasyon ihtiyacına neden olan primer olaydan ayırt edilemeyebilir. Mekanik ventilasyonun akut akciğer hasarını kötüleştirebileceği olasılığı kabul görmektedir (18). Sonuçta akut akciğer hasarında uygulanan volüm ve basıncı sınırlayan yeni ventilasyon stratejilere yönelinmiştir (19,20).

Webb ve Tierney, sıçanları 14, 30 ve 45 cmH₂O peak havayolu basınçları ile ventile etmişlerdir. Bir saatlik ventilasyon sonrası 14 cmH₂O peak havayolu basıncı ile ventile olanların akciğerlerinde herhangi bir patolojiye

rastlamamışlardır. Ancak daha yüksek basınçlarla ventile olanlarda akciğer ödemi gözlemlemişlerdir (4).

Mekanik ventilasyonun induklediği akciğer ödeminde akciğerde epitelyal ve endotelyal geçirgenlikteki major değişiklikler bildirilmiştir. Uzayan sıklık akciğer inflasyonu daha ciddi sonuçlar doğurmaktadır. Ventilasyon ilişkili akciğer ödeminin erken dönemlerinde epitelin geniş eriyiklere geçirgenliği muhtemelen artmamıştır. 41 cmH₂O peak inspiryum basıncı ile 8 saat boyunca ventile edilen koyunlarda akciğer ödemi meydana gelmemiştir, ancak küçük eriyiklere (Örn: Dieilenetriaminpentaasetikasit ‘DTPA’) geçirgenlik artmışken büyüklere ise değişmemiştir (örn: albumin) (21). Benzer olarak ratlarda kısa süreli yüksek basınçlı ventilasyonla oluşturulan akciğer ödeminde de proteinlere geçirgenliğin arttığı gözlenmemiştir (22). Ultrastrüktürel inceleme alveol epitelinde geniş hasarı gösterir. Bunun sonucu da epitelin bariyer özelliğinin bozulmasıdır (23,24).

Mekanik ventilasyon sırasında oluşan yüksek intratorasik basınçlar yüksek akciğer volümüne neden olur. Bu yüksek basınçlar sistemik dolaşma ve kan dağılılımı nedeniyle akciğere etki eder (25). Yüksek tidal volüm ve yüksek havayolu basınçları ile ventile edilen hayvanlarda geçirgenlik tipi akciğer ödemi gelişmiştir (26). Buna karşılık yüksek havayolu basıncı ve normal tidal volümler ile ventile edilenlerde ödem oluşmamıştır, ayrıca bunların patolojik incelemeleri de normal bulunmuştur (26). Bu çalışmadan çıkan sonuç ventilatöre bağlı akciğer ödeminin sorumlusunun yüksek havayolu basınçları değil artan tidal volümler olduğunu göstermektedir. Bu nedenle barotrauma terimini volütravma ile değiştirmek daha doğru olur (22,27).

VILI gelişen akciğerde, mekanik ventilasyon esnasında, sıvı ile dolu alveollere tidal volüm ulaşamaz, ventile olan alveoller overinflasyon ile karşı karşıya kalmış ve hasara açık hale gelmişlerdir. Bu da kompliyansı düşük olan akciğerlerin yüksek hacimli ventilasyonun neden olduğu hasardan daha büyük zarar gördüğü sonucunu doğurur. Sonuç olarak

VILI'de ana faktörün akciğerin mekanik özelliklerinin bozulma derecesi olduğu ve varolan akciğer patolojileri ve bunların ciddiyetinin ventilasyona bağlı hasarı potansiyelize edebileceğidir.

PEEP'in akciğer sıvı içeriği üzerindeki etkileri, PEEP'in düzeyine ve inspirometrik havayolu basıncına etkisine ve tidal volümün ne kadar azaldığına bağlıdır. Sabit tidal volüm PEEP uygulaması, fonksiyonel rezidüel kapasite (FRC)'de anlamlı bir değişikliğe neden olursa (Basınç-Volum (P-V) eğrisinin eğimine bağlı olarak) bu, genişleyebilen alanlarda aşırı şişmeye neden olur.

Caldini ve ark. intakt hayvanlarda ve izole akciğerlerde PEEP'e verilen yanıtları incelemiştir. 20 cmH₂O PEEP ile kapalı torakslı köpeklerde şant azalmış ancak hidrostatik ödem oluşumu önlenmemiştir. Daha düşük bir PEEP (8-10 cmH₂O) izole, sabit bir kan akımı ile perfüze olan loblarda sıvı birikimini arttırmıştır. Sonuçta PEEP'in gaz değişimine olumlu etkileri olduğu, ancak akut akciğer hasarındaki ödemi kötüleştirdiğine karar verilmiştir (28). Belli bir tidal volümde PEEP ile FRC'yi artırmak izole akciğerlerde ve intakt hayvanlarda ödem miktarına farklı etki eder. İntakt hayvanlarda, PEEP'in ödem oluşumuna etkisi, PEEP'in induklediği ekspiryum sonu volüm artışı ile (akciğer interdependence'sinden dolayı ekstra-alveoler damarlarda sıvı filtrasyonunu kolaylaştırır) intratorasik basınç artışına bağlı hemodinamik depresyonun (filtrasyon basıncını azaltır) dengesine bağlıdır. Izole akciğerlerde perfüzyonun korunması ödem oluşumunu kolaylaştırır.

Yayınlanmış tüm çalışmalar, aynı peak havayolu basınclarında, PEEP ve azaltılmış tidal volüm ile ventilasyonun, 0 PEEP ve daha yüksek tidal volüm ile ventilasyondan daha az zarar verici olduğunu bildirmiştir. Webb ve Tierney, sığanlarda, 45 cmH₂O peak havayolu basıncı ile bile ventile edilirken 10 cmH₂O PEEP uygulandığında mekanik ventilasyona bağlı akciğer ödeminin daha az olduğunu göstermişlerdir (4). PEEP'in bu

yararlı etkisini surfaktan aktivitesinin korunmasına bağlamışlardır. Bundan sonra PEEP'in ödem miktarını azalttığı ancak geçirgenlik değişikliklerinin ciddiyetini etkilemediği gösterilmiştir (26). Corbridge ve ark. HCl ile hasar meydana getirilmiş akciğerleri olan köpekleri düşük tidal volüm ve yüksek PEEP ile ventile ettiklerinde, yüksek tidal volüm ve düşük PEEP ile ventile edilenlere göre daha az ödem oluştuğunu gözlemlemiştir (13,29).

Belli bir inspiryum sonu basınçta, PEEP uygulanması intratorasik basınçta artışı neden olur ve bu da kardiyak debiyi azaltır (25,30). Kardiyak debideki bu düşüş daha az ödem oluşmasını açıklayabilir (4,26).

Ventilasyon ilişkili ödem gelişimi sırasında ödemin ve hücre hasarının şiddetinin PEEP uygulaması ile azalması, tidal volüm azalması ile akciğer doku geriliminin azalması Webb ve Tierney'in de savunduğu gibi surfaktan korunmasına bağlanmıştır (4).

Sonuç olarak, mekanik ventilasyona bağlı akciğer ödemini akciğerde bütün olarak belli derecede bir aşırı genişleme olduğunda meydana gelebilir. Bu nedenle inspiryum sonu akciğer volümü ventilasyona bağlı akciğer ödeminin major belirleyicisidir (27). Belli bir PEEP varlığında tidal volümleri artırmak ödem oluşumunu kolaylaştırırken sabit tidal volümlerde PEEP artırmak ödem oluşumunu yavaşlatmakta ve doku hasarının ciddiyetini azaltmaktadır, ancak mikrovasküler geçirgenlikteki değişiklikleri engelleyememektedir (26,10). Buna karşılık, PEEP aşırı gerilmeye neden olursa, daha da artmaktadır.

Tüm ventilasyon siklusu sırasında uygun bir PEEP seviyesi ayarlayarak açık akciğeri korumak, distal akciğer hasarını engellemek hipotezi hasarlı akciğerin konvansiyonel mekanik ventilasyonu sırasında da denenmiştir (8).

Sonuçta ventilasyon sırasında stabil olmayan akciğer üniteleri tekrar tekrar

açılıp kapanmalar sonucunda hasara uğrayabilmektedir. PEEP distal havayollarını koruyarak uzayan yüksek akciğer volümleriyle ventilasyonda diffüz alveoler hasarı engelleyebilir. Bu, yüksek tidal volümelerle ventilasyon sırasında PEEP'in varlığında epitelyal bütünlüğün korunduğunun belirtisidir (26).

2.2.1. Barotravma

Mekanik ventilasyonun en erken komplikasyonlarından biri barotravmadır. Macklin ve ark., yüksek hava yolu basınçlarında alveoler membran birleşim yerinde bozulmalar, pulmoner interstisyumda hava kaçaklarının olduğunu ve bu kaçaklarında pnömomediasteneum, pnömoretroperitoneum, subkutanöz amfizem, pnömotoraks ve pnömoperitona neden olduklarını göstermişlerdir. Alveollerdeki aşırı distansiyona neden olan faktörler (PEEP vs.) veya o bölgedeki doku zayıflığı (akciğer hastalıkları, malnürisyon, yaşlılık) barotravma için predispozan faktörlerdir. Barotravmaya sekonder olarak gelişen, çevre alveollerdeki aşırı distansiyon sonucu, grafilerde heterojen dağılmış konsolidasyon ve pulmoner ödem tablosu görülür.

Normal akciğerler, yüksek tidal volümlerde ventile edildiğinde surfaktanın eksildiği ve pulmoner ödem geliştiği görülmüş, PEEP uygulandığında bunun daha da arttığı saptanmıştır. Surfaktan eksikliğinin nedeni, normal akciğerlerde +10 cmH₂O'nun üstündeki bir perivasküler basınçta hidrostatik ödemin oluşmasıdır. Corbridge ve ark.'nın yaptığı bir çalışmada asit aspirasyonu sonrasında yüksek tidal volüm ve düşük PEEP uygulayarak ödemin arttığı bulunmuştur (13). Düşük tidal volüm ve yüksek PEEP uygulanması ile , yüksek tidal volüm ve düşük PEEP uygulanmasına nazaran ödem oluşumunun daha az olduğu bulunmuştur (13).

Muscedere ve ark., sağlıklı köpekleri Ppeak 28-32 cmH₂O olacak şekilde 2

saat ventile etmişler. 24 saat sonra anlamlı olarak pulmoner atelektazi olduğunu ve alveollerde yüzeyel tansiyonun progresif olarak arttığını bulmuşlardır. Bu bulgulara dayanarak pek çok araştırmalar yapılmış yüksek tidal volüm ve yüksek hava yolu basıncları ile ventile edilen hayvanlarda atelektaziler, progresif solunum yetersizlikleri ve hyalen membranlarla birlikte pulmoner ödemini göstermiştir (31).

Kolobow ve ark., 50 cmH₂O' luk Ppeak ile koyunları 48 saat süreyle ventile etmişler, pulmoner fonksiyonlarda ve akciğer hücrelerinde progresif olarak bir bozulma meydana geldiğini görmüşlerdir (12).

Sadece yüksek volümler akciğer hasarı yapmaz, düşük volümlerde de sürekli olarak küçük hava yolları ve alveollerin açılıp kapanması sonucunda da, akciğer dokusunda harabiyet meydana gelebilir (6).

2.2.2. Volütravma:

Mekanik ventilasyonun diğer önemli bir komplikasyonu da volütravmadır. Son 20 yılda yapılan hayvan çalışmaları göstermiştir ki, yüksek tidal volüm (40 mL/kg) veya 40 cmH₂O inflasyon basıncının üzerindeki basınçlarda uygulanan mekanik ventilasyon sonucu akut akciğer ödemini gelişmektedir (14).

Domuzlarda yapılan bir çalışmada, hayvanlar 22 saat boyunca (FiO₂ 0.4, Ppeak 40 cmH₂O, PEEP +3 ile +5 cmH₂O, frekans 20/dk) ventile edildikten sonra histopatolojik incelemede alveoler hemoraji, alveoler nötrofil infiltrasyonu, alveoler makrofaj ve tip II pnömosit proliferasyonu, interstisyal konjesyon, interstisyal lenfosit infiltrasyonu, amfizematöz değişiklikler ve hyalen membran formasyonu olduğunu ve bunun ARDS'nin erken dönemine uydugunu görmüşlerdir. Bunun yanında domuzları daha düşük Ppeak ile (Ppeak 18 cmH₂O) ventile ettiklerinde akciğerde fonksiyonel ve histolojik değişikliklere rastlamamışlardır (14).

Mekanik ventilasyona bağlı akciğer hasarında, alveollerde ve terminal hava yollarında açılma ve kapanması sonucu mikroskopik yırtılmalar oluşur (32). Bu olay atelektazik akciğer ünitelerinin her bir inspirasyonda yüksek basınç ve volüm ile zorla açılıp, ekspirasyonda tekrar kapanması ile karakterizedir. MV esnasında yeterli PEEP kullanılmaz ise bu yırtılmalarla karşılaşırız (32).

Yüksek tidal volümlerle ventilasyon normal ve hasarlı alveollerde aşırı gerilmeye neden olarak direkt akciğer hasarı oluşturabilir. Mekanik ventilasyonda yüksek basınçlar kullanılması yüksek akciğer volümlerini ortaya çıkarır. Bu yüksek basınçlar sistemik dolaşımı da etki eder (25).

VILI'nın oluşmasında yüksek basınçların mı yoksa yüksek akciğer hacimlerinin mi ön planda etkili olduğu araştırılmıştır. İntakt sığanlarda toraksın bir bantla sarılarak yüksek havayolu basıncı ile düşük hacimli ventilasyon sağlanmış ve yüksek basınç-normal solunum hacmi ile ventile edilenlerde ödem oluşmazken, yüksek basınç ve tidal volüm ile ventilasyon sonucu geçirgenlik tipi akciğer ödemi gelişmiştir (26). Böylece ventilatöre bağlı akciğer ödeminin yüksek havayolu basınçları değil artan tidal volümler sonucu ortaya çıktığı yargısına varılmıştır. Bu nedenle barotrauma terimini volütravma ile değiştirmek uygun olabilir (22,27).

2.2.3. Sürfaktan miktarının azalması ve disfonksiyonu

Mekanik ventilasyona bağlı sürfaktan miktarının azalması ve disfonksiyonu da akciğer hasarına yol açar. Surfaktan distal hava yolları ve alveoler endotelin yüzeyini kaplayarak, yüzey tansiyonunun düşük kalmasında, böylece alveollerin ve distal hava yollarının açık kalmasında önemli rol oynar. Aynca sürfaktan, akciğerin immunomodülatör etkisinde de önemli rol oynar (33,34).

Mekanik ventilasyon surfaktanı inaktive ederek alveol yüzey gerilimini arttırabilir. Ancak bu yüzey aktivitesindeki bozukluk surfaktan eksikliğine bağlı değildir (35,36). Neden ekspiryum sonunda azalan akciğer volümü ve alveol yüzeyidir Mekanik ventilasyon nedeniyle salınan surfaktan bu yüzeylelere iyi yayılamaz ve baskı nedeniyle inaktive olur (35). Bir başka açıklama, surfaktanın ekspiryum sonunda havayollarında kaybolduguudur (37). Mekanik ventilasyona bağlı ödemdeki surfaktan disfonksiyonu özellikle fibrin oluşumu ile inaktivasyon nedeniyle gerçekleşmiş olabilir (38,39).

Surfaktan inaktivasyonu alveoler yüzey gerilimini artırır ve alveoler damarları saran negatif basıncı azaltır, böylece transmural basınç ve sıvı filtrasyonu artar (40,41).

Artmış yüzey gerilimi, akciğer mikrovasküler yapısı üzerindeki artmış traksiyonun sonucu olarak endotelial geçirgenliği de etkileyebilir (42). Surfaktan inaktivasyonu kapiller filtrasyon katsayısında geçici, orta dereceli (%50) bir artışa neden olur (43).

2.2.4. Biyotravma

Mekanik ventilasyona bağlı başka bir komplikasyon ise biyotravmadır. Son yıllarda ventilatöre bağlı akut akciğer hasarında inflamatuar hücrelerin ve mediatörlerin de oldukça önemli rolü olabileceği hakkında çalışmalar yapılmıştır. Tavşanlarda yapılan çalışmalarda surfaktan azalması ile birlikte pulmoner permeabilite artışı, ödem, nötrofil infiltrasyonu, hyalen membran oluşumu, gaz değişiminde bozulma ve bu patolojilere eklenen barotrauma sonucu periferik kanda granulositlerin azaldığı bulunmuştur (44). Granulositler mekanik ventilasyonun etkisi ile akciğerlerde yoğunlaşır (periferik kandan kemotaksis ile akciğerlere gelir).

Hayvanlarda basınç kontrollü mekanik ventilasyon ($P_{mean}=15$ cmH₂O, $P_{peak}=25$ cmH₂O, $PEEP=5$ cmH₂O) ile oluşturulan akciğer hasarında "platelet activating factor" (PAF) ve tromboksan B₂'ninde önemli rolü olduğu saptanmıştır. BAL'da ise TNF-alfa artışı olduğu, albüm, elastaz, nötrofil konsantrasyonlarının düşüğü gösterilmiştir. Ayrıca oksijenasyon düzeltilemezse diğer mediyatörler de (sitokinler, araşidonik asit derivasyonları, kompleman, serbest oksijen radikalleri, katyonik proteinler ve proteolitik enzimler) plazmada artar (45).

2.3. Mekanik ventilasyona bağlı gelişen akciğer hasarının patofizyolojisi

Akut akciğer hasarı ve ARDS'nin patolojisi; alveoler ödem, inflamasyon, konsolidasyon, atelektazi (travmalı alveollerin kollapsı), hyalen membranlar ve son olarak da fibrozis ile karakterizedir. Atelektazinin iki önemli nedeni vardır:

- 1) Akciğer kompliyansının azalması,
- 2) Düşük akciğer volümleri.

Akut akciğer hasarında akciğer volümlerinde önemli oranda azalma görülür. Bu sadece FRC azalmasından kaynaklanmaz, aynı zamanda akciğer parankiminde ventile edilebilen alanlar yanında konsolide ve atalektazik, ventile edilemeyen alanlar da mevcuttur.

Küçük hayvanlardaki overinflasyon döneminde gözlenen endotel hücre hasarı polimorf nüveli lökositler (PNL) ile bazal membran arasında direkt teması neden olur. Bu temas lökosit aktivasyonunu sağlayabilir. Küçük hayvanlarda yapılan deneylerin süresi masif lökosit katılımına neden olmaz. Daha büyük hayvanlarda birkaç saatten sonra gelişen VILI'nin dikkat çeken özelliği interstisyel ve alveoler alanlara inflamatuar hücrelerin infiltrasyonudur. Tsuna ve ark. yüksek tidal volümlerle 22 saat boyunca

ventile edilen domuzlarda interstisyal lenfoid infiltrasyon ve alveoler makrofaj ve nötrofil infiltrasyonu gözlemlemiştir (46).

Mekanik ventilasyonda solunum yetersizliğindeki hastaların heterojen olarak genişleyen akciğerlerine yüksek transpulmoner basınçlar uygulayarak hemoraji ve hyalen membran oluşumuna sebep olunabilir. Heterojen akciğerlerin inflasyonu sırasında belli noktalarda önemli basınç ve kuvvetler meydana gelebilir (47). VILI sırasında atelektazi ile sonuçlanan surfaktan inaktivasyonu ile bir kısır döngüye girilebilir. Yan yana yer alan zonların birbirine uyguladığı kuvvetler hasarı daha da artırabilir ve mekanik heterojenite daha da artar. Bu şartlar altındaki akciğerlerde düşük ve yüksek volümlerde meydana gelebilecek distal havayollarının tekrarlayan açılıp kapanmaları epitel katlarını da etkileyerek lezyonları daha ağır hale getirebilir (48).

Oleik asit infüzyonu ile akciğerleri hasarlanan köpekler prone pozisyonunda yüksek tidal volümelerle ventile edildiklerinde, supinde ventile edilenlere göre daha az histolojik bozukluklar göstermiştir (49).

2.4. VILI'de patolojik değişiklikler

Patolojik incelemede mekanik ventilasyon ile hasara uğrayan hayvan akciğerleri atelektazi, ciddi konjesyon ve ödeme bağlı büyümeye gösterir (4,12,50). Hasarın süresi ile akciğerin etkilenen bölge genişliği arasında anlamlı bir ilişki vardır. Ventilatör ilişkili akciğer ödemi ciddi endotelyal ve epitelyal hasar ile beraberdir ve geçirgenlik değişiklerinin yapısal göstergesi de budur (22,26).

İşik mikroskopunda ödem başlangıçta interstisyal alandardır ve peribronkovasküler kılıf olarak görülür. En az 1 saat boyunca yüksek basınçla mekanik ventilasyon belirgin alveoler ödeme neden olur. Webb ve Tierney, ölmek üzere olan hayvanlardaki ödemin eozinofilik olduğunu,

yani proteinden zengin olduğunu, bu nedenle transüdadan ziyade bir eksüda olduğunu düşünmüşlerdir (4)

Küçük hayvanlarda ödem çok kısa zamanda gelişmekte, belirgin enflamasyon ve nötrofil infiltrasyonu için yeterli zaman olmamaktadır (46).

Elektron mikroskopisi ile VILI'de oluşan ve geçirgenlik artışı ile sonuçlanan bozukluklar net olarak gösterilmiştir. 6 saat boyunca 20 cmH₂O peak havayolu basıncı ile ventile edilen tavşanlarda alveol tip 1 hücrelerinde bütünlüğün bozulduğu bildirilmiştir (51). Daha yüksek basınçlar kullanıldığında endotel ve epitel bariyerlerinde daha geniş değişiklikler olduğunun kanıtları bulunmuştur (22,26). Ciddi alveoler ödem gözlenen hayvanlarda alveol alanlarını dolduran hyalen membranlara birçok bölümde rastlanmıştır (52,26). Endotelyal kırılmalar PNL'ler ile bazal membran arasında direkt temasla neden olur. Alveoler hücrelerin yıkımının ağırlığı akciğer lavaj sıvısında hücre enzimlerinin (ör: laktat dehidrogenaz ve aspartat aminotransferaz) belirgin yükseklğini açıklar (53).

Yüksek volumle ventilasyona cevap olarak hızla oluşan ciddi ödem ve hücre değişiklikleri, surfaktan inaktivasyonu ve stres bozukluk gibi mekanik olaylarla açıklanabilir. Alveoler flooding, akciğer heterojenitesi ve terminal havayollarının açılıp kapanması hasarı büyütебilir. Nötrofiller daha sonra aktive olur ve anatomik bozukluklar ile (hücre yıkımı ve bazal membran soyulması) inflamatuar mediatörlerin salınımına cevap olarak olaya katılırlar. Aktif granulositlerin etkileri mekanik stresinkilere eklenerek VILI'nin tam olarak oturmasını sağlar.

2.5. Ventilatöre Bağlı Akciğer Hasarını Önleyici Tedbirler

- 1) Entübasyondan mümkün olduğunda kaçınmak
 - Non-invaziv pozitif basıncılı ventilasyon
 - Cuirass negatif basıncılı ventilasyon

- 2) Yüksek akciğer volümlerinden kaçınmak
 - Basınç ve volüm limitli ventilasyon
 - Intravasküler oksijenizasyon (IVOX), Ekstrakorporeal CO₂ atılmاسının (ECCO₂R) kullanılması
 - Trakeal gaz insuflasyonu (minimal tidal volüm ile birlikte)
- 3) Düşük akciğer volümlerinden kaçınmak (alveollerin her inspirasyonda tekrar açılıp kapanmasının önlenmesi)
 - Yeterli PEEP uygulanması
 - Parsiyel likit ventilasyon
 - Yüksek frekanslı ventilasyon
- 4) Ventilasyon-perfüzyon oranının düzeltılması
 - Inverse Ratio Ventilation
 - Parsiyel likit ventilasyon
 - Yüksek frekanslı ventilasyon
 - Prone pozisyonu
- 5) Mekanik ventilasyona ilave tedavi
 - Sürfaktan eksikliğinin tamamlanması
 - Yeniden kazandırma manevraları

Tüm bu bilgiler ışığında, mekanik ventilasyonun hasarlı akciğerdeki zarar verici etkileri, akciğeri dinlenmeye bırakmanın güvenli bir metod olduğu hipotezine yönelikmasına neden olmuştur. Akciğeri dinlendirmek için HFO (yüksek frekanslı osilatör ventilasyonu), tam olarak ventile etmemek, çok düşük frekanslı ventilasyon, ekstrakorporeal membran oksijenizasyon ve ekstrakorporeal CO₂ uzaklaştırma yöntemi gibi teknikler geliştirilmiştir (54). Buna karşılık yapılan çalışmalarla böyle bir dinlendirmenin akciğer ödemini azaltıcı etkisi gösterilememiştir. Sonuç olarak akciğer

dinlendirmesinin akut akciğer hasarı üzerine etkisi henüz açık olarak gösterilememiştir.

2.6. Akciğerleri Koruyucu Mekanik Ventilasyon

Mekanik ventilasyona bağlı akciğer hasarının mekanizması ortaya konduktan sonra, bu hasarı önleyen stratejiler geliştirilmiştir. Burada amaç, hiperinflasyonun önlenmesi, yüksek FiO₂'den kaçınma ve alveollerde sürekli olarak açılıp kapanmaya bağlı hasarın önlenmesidir (55).

Klinisyenler, basınç ve volüm limitli ventilatör stratejileri kullanarak volütravmayı azaltabilmişlerdir. İdeal olan, tidal volüm limitlerini fizyolojik aralıklarda tutarak transalveoller basıncın 30-35 cmH₂O'nın üzerine çıkışmasını önlemektir (5). Bu limitleri kullanırken 2 olumsuz etkiden de sakınmak gereklidir:

- 1) Hiperkapni
- 2) Akciğerdeki volüm kayipları

Kandaki karbondioksit düzeylerini fizyolojik sınırlarda tutmak gerekmektedir (5). Stabil olmayan alveoller açmak ve açık tutmak amacıyla, optimal düzeylerde PEEP uygulanması sonucunda, akciğerlerde gaz değişiminin düzeltmesi sağlanmaktadır. Optimal PEEP nedeni ile de hemodinamik bozuklıklar ve volütravma riski azaltılmaktadır (2,31).

3. GEREÇ VE YÖNTEM

Çalışma Akdeniz Üniversitesi Tıp Fakültesi Fizyoloji Anabilim Dalı deney hayvanları laboratuvarı ünitesinde Wistar cinsi, 6 aylık dişi ratlar üzerinde yapıldı. Çalışma öncesi Hayvan Bakım ve Kullanım Kurulu onayı alındı. Çalışmada deney hayvanına yaklaşım prensiplerine dikkat edildi. Çalışma için her grupta 10 adet rat olmak üzere 3 grup oluşturuldu.

3.1. Anestezi

İşlem öncesi rat ağırlığı ölçülmüş kaydedildi. Anestezik ajan olarak deney hayvanına etil karbamate (Urethan U-2500, Sigma Chemical Co., U.S.A.) solusyonundan 1 gr.kg^{-1} intraperitoneal uygulandı ve anestezi oluşuncaya kadar beklendi. Etil karbamatin etki süresi uzun olup 6 ile 10 saat süresince cerrahi anestezi sağlamaktadır. Kardiovasküler ve solunum parametrelerine etkisi oldukça azdır dolayısıyla geniş güvenlik sınırlına sahiptir.

3.2. Kateterizasyon

Anestezi oluştuktan sonra ratlar sırt üstü pozisyonunda, ön ve arka ekstremiteleri abdüksiyonda olacak şekilde operasyon masasına tesbit edildi. Daha sonra ratın önce sağ femoral bölgesi diseke edilerek sağ femoral vene ulaşıldı. Sağ femoral ven askiya alınarak 22 gauge i.v. kanül (22.G, Bıçakçılar, Türkiye) yerleştirildi. Bu kanüle i.v. sıvı tedavisi amacıyla 3 yollu musluk (Bıçakçılar, Türkiye) ile bağlantı yapıldı. Santral venöz kateterizasyonu ardından sol femoral bölge diseke edilerek sol femoral artere ulaşıldı ve femoral arter askiya alınarak yine 22 gauge i.v. kanül (Bıçakçılar, Türkiye) yerleştirildi. Bu kanüle de 3 yollu musluk bağlandı. Buraya invaziv kan basıncı (İ.K.B.) monitörizasyon için basınç algılayıcısı (Transducer, Model TP-400 T, Nihon Kohden, Japan) ile bağlantı yapıldı. Invaziv kan basıncı (İ.K.B.) ve Kalp atım hızı (K.H.) monitorizasyonu için özel bir monitörden yararlanıldı (Polygraph system, RM-600, 1999, Nihon Kohden, Japan).

3.3. Trakeostomi ve tek taraflı kimyasal akciğer hasarı oluşturulması

Venöz ve arteriel kateterizasyonların ardından boyun median kesisi yapılarak trachea diseke edildi ve 3-4 tracheal halkalar arasından trakeostomize edildi. Tek taraflı kimyasal akciğer hasarı modeli oluşturmak için 14 gauge sola eğimli branülden faydalandırıldı. İçindeki iğnesinin ucu küntleştirilmiş ve iğnesiyle birlikte sola yönlendirilmiş 14 gauge i.v. kanül sol akciğere yön verilerek ilerlendi ve deney hayvanları sol lateral dekubitüs pozisyonuna alındıktan sonra sol akciğere $0.8 \text{ ml} \cdot \text{kg}^{-1}$ 0.1 N hidroklorik asit (HCl) ($\text{pH}=1.5$, oda havasında) ve ardından 5 ml hava verilerek tek taraflı kimyasal asit aspirasyon akciğer hasarı modeli oluşturuldu. Bu branül çekilerek spontan solunumunda olan r特larin trakeasına ikinci bir 14 gauge i.v. kanül yerleştirildi. Ardından $0.1 \text{ mg} \cdot \text{kg}^{-1}$ vekuronium bromid (Norcuron, Organon Teknika B.V., Boxtel, The Nederland) ile kas gevşemesi sağlanarak (Siemens Servo 900C, Siemens Elema-Solna, Sweeden) ventilatör ile her grup için daha önceden belirlenmiş tidal volümler ve PEEP değerleri ile ventile edilmeye başlandı.

3.4. Ventilasyon grupları

Anestezi, kateterizasyon ve trakeostomi sonrası hemodinamik parametrelerden nabız ve orta arter basıncı (MAP) başlangıç değerleri ölçülerek kaydedildi. Bu hemodinamik değerler deney sonuna kadar, HCl verilmesi ardından 1., 15., 30., 60., 120. dakikalarda ölçülecek kaydedildi.

Her 3 gruba da sıvı tedavisi olarak pompa ile (Compact Infusion Pump 975, Harvard Apparatus, U.S.A.) $10 \text{ ml} \cdot \text{kg}^{-1} \text{ st}^{-1}$ i.v. serum fizyolojik infüzyonu uygulandı. Bu arada her kan gazı örneklemesi için alınan 0.5 ml kan örneği için 0.5 ml HAES %10 (HAES-steril % 10 solüsyon, Hydroxyethyl amylase, $100\text{g} \cdot \text{l}^{-1}$) intravenöz verilerek volüm replasmanı yapıldı.

Her deney grubundaki deney hayvanlara birinci ve ikinci kan gazı örneklemesi ardından ihtiyaca göre bolus olarak HCO_3 verildi. Her 3 gruptaki deney hayvanlarına orta arter basınçları 50 mmHg'nin üzerinde tutulmak amacıyla $3\text{-}10 \mu\text{g} \cdot \text{kg}^{-1} \cdot \text{dk}^{-1}$ doz aralığında dopamin infüzyonu verildi. Deney hayvanının vücut ısısı masa tipi aydınlatma cihazı yardımıyla korunmaya çalışıldı.

Arter kanülasyonu ve monitorizasyonu, trakeostomi ve HCl verilmesini takiben denekler çalışma gruplarına uygun olarak farklı ventilasyon parameterleri ile ventile edilmeye başlandı. Tüm gruplar, Siemens-Enema Servo 900C ventilatör ile ventile edildi. Gruplar, düşük tidal volüm $8 \text{ ml} \cdot \text{kg}^{-1}$, yüksek tidal volüm $12 \text{ ml} \cdot \text{kg}^{-1}$, düşük PEEP $5 \text{ cmH}_2\text{O}$ ve yüksek PEEP $10 \text{ cmH}_2\text{O}$ olacak şekilde ayrıldı. Tüm çalışma gruplarında, $\text{FiO}_2 1.0$ olarak ayarlandı. Çalışma grupları aşağıdaki gibi belirlendi:

- 1. Grup:** Düşük PEEP ($5 \text{ cmH}_2\text{O}$), yüksek tidal volüm ($12 \text{ ml} \cdot \text{kg}^{-1}$), frekans 50 dk^{-1}
- 2. Grup:** Yüksek PEEP ($10 \text{ cmH}_2\text{O}$), düşük tidal volüm ($8 \text{ ml} \cdot \text{kg}^{-1}$), frekans 75 dk^{-1}
- 3. Grup:** Yüksek PEEP ($10 \text{ cmH}_2\text{O}$), yüksek tidal volüm ($12 \text{ ml} \cdot \text{kg}^{-1}$), frekans 50 dk^{-1}

FiO_2 , inspiroyum-ekspiryum oranları tüm grplarda ve frekans grup içinde çalışma boyunca sabit tutuldu.

Deney hayatı 2 saat boyunca takip edilerek HCl verilmesinin ardından 1., 15., 30., 60., 120. dakikalarda hemodinamik ölçümeler kaydedildi. Bu hemodinamik takipler esnasında deney hayvanından yine HCl verilmesinin ardından 1., 30., 60., 120. dakikalarda arteriyel kan gazını değerlendirmek amacıyla kan örneği alındı. Kan gazı analizleri ABL 725, (Radiometer Copenhagen, Denmark) cihazı ile yapıldı. İkinci saat değerleri kaydedilerek torakotomi işlemine geçilmesi planlandı. Bu sırada işlem

öncesi arteriyel kan gazını değerlendirmek amacıyla son kan gazı örneği alındı. Son kan gazı örneklemesinin ardından 5 cmH₂O CPAP uygulanarak ventilasyon kesildi. Hayvanlar, 120 mg.kg⁻¹ pentotal i.v. verildikten sonra sakrafiye edildiler. Daha sonra median torakotomi insizyonu ile toraks açıldı ve akciğerler ve kalp usulüne uygun olarak diseke edildi ve blok halinde çıkarıldı ve yine aynı basınç altında akciğer transtrakeal %10 formalin solüsyonu ile doldurulduktan sonra ventilatörden ayrılarak akciğerler ve kalp içerisinde % 10 formalin içeren bir kaba konularak çalışma sonlandırıldı.

3.5. Patolojik değerlendirme

Akciğer materyalleri histo-patolojik inceleme amacıyla patoloji laboratuarına verildi. Akciğerler, uygulanan ventilasyon protokollerini bilmeyen patolog tarafından incelendi. Akciğerler %10 formalin solüsyonu içinde en az 24 saat boyunca tutuldular. Daha sonra her iki akciğerden ayrı ayrı koronal şekilde apeksten bazale doğru kesitler alındı ve sağ-sol akciğer 2-3 parçaya bölünerek parafine gömülerek bloklandı. Her bloktan 5µm'lık 2-3 kesit hazırlandı. Kesitler hematoksilen-eosin ile boyanarak ışık mikroskopu ile incelendi. Mikroskopik olarak atelektazi, perivasküler kanama, alveoler ödem, alveol içi PNL infiltrasyonu, peribronşiyal ödem, hyalen membran, perivasküler ve interstisyel ödem, konjesyon ve interstisyel PNL infiltrasyonu açısından değerlendirildi. Her bir akciğerde yukarıdaki lezyonlar var ya da yok olarak değerlendirildi. Akciğer hasarı skorlaması için lezyonun varlığı 1 puan, yokluğu da 0 puan olarak kabul edildi. Her grupta sağ ve sol akciğer için ayrı ayrı toplam skorlar hesaplandı.

3.6. İstatistiksel Analizler

Veriler Statistical Package for Social Science (SPSS) istatistik paket programı (10.0 sürüm) ile analiz edilmiştir (SPSS for Windows, U.S.A).

Verilerin tanımlanması ortalama (mean) \pm standart sapma (SD) şeklinde gösterilmiştir.

Tüm grupların pH, PaO₂, PaCO₂ değerleri non parametric Kruskal Wallis ANOVA testi ile değerlendirildi. Akciğer patolojik inceleme sonuçları ise, parametrelerin her grup için toplam skoru ve bu parametrelerin tek başına gruplar arasındaki farkları olarak ki-kare testi ile değerlendirildi. İstatistiksel olarak anlamlılık tespit edilen parameterler post test olarak Fischer's exact test kullanılarak gruplar arasındaki istatiksel farklar gösterildi. Test sonuçlarında $p<0.05$ anlamlı, $p<0.01$ ileri derecede anlamlı olarak tanımlanmıştır.

Gruplar arasındaki farkların sayısal ölçümleri için Mann-Whitney U testi kullanılmış, $P<0.05$ değerleri anlamlı bulunmuştur. Organlarda gözlenen patolojik bulguların skorlarının gruplar arasındaki farklılıklarını Mann-Whitney U testi ile değerlendirilmiş, $P<0.05$ değerleri anlamlı bulunmuştur.

4. BULGULAR

Çalışmamıza her bir grupta 10 adet olmak üzere toplam 3 grup ve 30 deney hayvanı dahil edilmiştir. Tüm deney hayvanlarının demografik verileri benzerdi (Tüm deney hayvanları dışı iken, vücut ağırlıkları 230-270 g. arasında değişmekteydi.) Deneyin başlangıç zamanı olarak HCl'in sol akciğere verilmesi baz alındı.

Toplam 3 gruptan oluşan çalışmamızda tüm grplarda pH, PaO₂, PaCO₂, M.A.P., nabız dakika sayısı, havayolu peak basıncı ve mean basıncı değerleri kaydedildi. (Çizelge-1, Çizelge-2 ve Çizelge-3).

Çizelge-1. Zaman göre ortalama pH, PaO₂, PaCO₂ değerleri

Kan gazları	GRUP 1			GRUP 2			GRUP 3		
	1 dk	60dk	120dk	1 dk	60dk	120dk	1dk	60dk	120dk
pH	7.30±0.2	7.37±0.1	7.32±0.1	7.31±0.1	7.36±0.1	7.33±0.7	7.31±0.1	7.36±0.1	7.28±0.1
PaO ₂	123±17	136±27	123±22	145±30	224±50	288±61	165±27	226±39	289±73
PaCO ₂	30±1.6	32±1.4	29±1.1	30±1.3	33±1.3	30±1.8	28±0.6	30±1.4	28±0.7

Çizelge-2. Zamana göre artalama MAP ve kalp atım sayısı değerleri

Hemodinami	GRUP 1			GRUP 2			GRUP 3		
	0 dk	60dk	120dk	0 dk	60dk	120dk	0 dk	60dk	120dk
MAP (mmHg)	88±10	83±13	67±12	88±10	87±6	68±4	96±8	78±6	46±2
KAH (atım. dk ⁻¹)	313±71	298±71	264±56	307±55	312±24	273±32	304±77	266±57	216±49

Çizelge-3. Zaman göre ortalama havayolu basınçları

Havayolu basınçları (cmH ₂ O)	GRUP 1		GRUP 2		GRUP 3	
	1 dk	120dk	1 dk	120dk	1dk	120dk
Ppeak	30.1±2.2	37.7±4.1	28.7±2.3	32.7±2.4	40.2±1.5	52±1.7
Pmean	12±1.2	12.6±1.3	13.9±1.2	14.2±1.9	16.4±0.8	18.4±0.9

Tüm gruptarda, patolojik inceleme için alınan akciğerlerin patolojik değerlendirilmesi Çizelge-4 ve Çizelge-5'de verilmiştir. Bu çizelgelerde sağ ve sol akciğerin ayrı ayrı mikroskopik olarak atelektazi, perivasküler kanama, alveoler ödem, alveol içi PNL infiltrasyonu, peribronşiyal ödem, hyalen membran, perivasküler ve interstisyel ödem, konjesyon ve interstisyel PNL infiltrasyonu açısından bir skorlama sisteme göre değerlendirilmeleri gösterildi. Her bir akciğerde yukarıdaki lezyonlar var ya da yok olarak değerlendirildi. Akciğer hasarı skorlaması için lezyonun varlığı 1 puan, yokluğu da 0 puan olarak kabul edildi. Her grupta sağ ve sol akciğer için ayrı ayrı toplam skorlar hesaplandı.

Çizelge-4. Sağ akciğer için incelenen patolojiler bulunan bulunmayan denek sayısı

SAĞ AKCİĞER	GRUP 1		GRUP 2		GRUP 3	
PATOLOJİ	VAR	YOK	VAR	YOK	VAR	YOK
Atelektazi	3	7	1	9	6	4
Perivasküler kanama	0	10	2	8	3	7
Alveoler ödem	2	8	0	10	2	8
Peribronşial ödem	3	7	4	6	4	6
Perivasküler ve interstisyel ödem	10	0	10	0	9	1
Alveol içi PNL infiltrasyonu	3	7	1	9	3	7
Hyalen Membran	2	8	0	10	2	8
Konjesyon	8	2	9	1	9	1
İnterstisyel PNL infiltrasyonu	4	6	4	6	6	4
Toplam skor	35	55	31	59	44	46

Çizelge-5. Sol akciğer (hasarlı akciğer) için incelenen patolojiler bulunan bulunmayan denek sayısı

SOL AKCİĞER	GRUP 1		GRUP 2		GRUP 3	
PATOLOJİ	VAR	YOK	VAR	YOK	VAR	YOK
Atelektazi	3	7	1	9	4	6
Perivasküler kanama	3	7	1	9	5	5
Alveoler Ödem	1	9	0	10	2	8
Peribronşial ödem	6	4	4	6	6	4
Perivasküler ve interstisyel ödem	9	1	10	0	8	2
Alveol içi PNL infiltrasyonu	1	9	3	7	3	7
Hyalen Membran	1	9	0	10	2	8
Konjesyon	9	1	10	0	9	1
interstisyel PNL infiltrasyonu	3	7	7	3	10	0
Toplam skor	38	52	36	54	49	41

Gruplar PaO₂ açısından karşılaştırıldığında, Grup-2 ile Grup-3 arasında anlamlı fark bulunmazken ($p>0.05$), Grup-1 ile bu iki grup arasında ileri derecede anlamlı olarak fark bulundu ($p<0.01$).

Gruplar içi ortalama PaO₂ değerleri karşılaştırıldığında Grup-1'de anlamlı bir fark bulunmazken ($p>0.05$), Grup-2 ve Grup-3'de HCl verildikten sonraki 60. dakika ve 120. dakikada anlamlı olarak artış bulundu ($p<0.05$).

Grup içi ve gruplar arası PaCO₂ değerleri karşılaştırıldığında 3 grupta da anlamlı fark bulunmadı ($p>0.05$).

Grup içi ortalama pH değerleri karşılaştırıldığında her 3 grupta da HCl verilmesinin ardından 60. dakikada yapılan kan gazi örneklemesinde, dakikada verildikten sonraki 1. dakika ile karşılaştırıldığında, ortalama pH'nın 7.30'dan 7.37'ye yükseldiği ve bu artışın istatiksel olarak anlamlı olduğu bulundu ($p<0.01$). Gruplar arası ortalama pH değerleri karşılaştırıldığında istatiksel olarak anlamlı fark bulunmadı.

Grup içi ortalama MAP değerleri karşılaştırıldığında Grup-1 ve Grup-2'de 120. dakikada ortalama MAP 89.1 mmHg'dan 67.9 mmHg'ya düşmüş olup fark istatiksel olarak anlamlıdır. Grup-3'de ise 120. dakikada MAP 96.6 mmHg'dan 46.0 mmHg'ya düşmüştür. Fark istatiksel olarak ileri derecede anlamlıdır ($p<0.01$).

Grup içi ortalama KAH değerleri karşılaştırıldığında Grup-1'de KAH'nın 313 atım/dk.'dan 120. dakikanın sonunda 264 atım/dk.'ya düşüğü, yine 120. dakikanın sonunda Grup-2'de 307 atım/dk.'dan 273 atım/dk.'ya düşüğü görüldü ve her iki sonuç da istatistiksel olarak bulundu ($p<0.05$) Grup-3'de de KAH 304 atım/dk.'dan 120. dakika sonunda 216 atım/dk.'ya düşmüştür ki bu fark da ileri derecede anlamlıdır ($p<0.01$).

Grup içi ortalama peak basıncı değerleri karşılaştırıldığında Grup-1'de HCl

verilmesi ardından 1. dakikada 30.2 cmH₂O'dan 120. dakikanın sonunda 37.5 cmH₂O'ya yükselmiş olup, Grup-2'de 28.2 cmH₂O'dan 33.2 cmH₂O'ya yükselmiştir ve bu değişiklikler istatiksel olarak değerlendirildiğinde anlamlı fark bulunmamıştır. Grup-3'de ise başlangıçta 40.2 cmH₂O olan peak basıncı değeri 120. dakikada 52 cmH₂O'ya yükseldi ve bu fark istatiksel olarak ileri derecede anlamlı bulundu ($p<0.01$).

Çalışma protokolü gereği, her üç gruptaki deney hayvanlarının sol akciğerlerine HCl verilerek denyesel tek taraflı asit aspirasyon kimyasal akciğer hasarı modeli oluşturuldu. 120 dakika ventile edilen deney hayvanlarının sol ve sağ akciğerlerinden doku örneği alınarak incelenmek üzere patolojiye gönderildi. Patolojik değerlendirmeler, çalışma grubunu bilmeyen bir araştırmacı tarafından değerlendirildi. Patolojik olarak incelenen parametrelere göre patolojik değerlendirmenin sonuçları Çizelge -4 ve Çizelge-5'de verilmiştir. Grupların toplam skorları değerlendirildiğinde Grup-1 ile Grup-2 arasında anlamlı fark bulunmazken ($P>0.05$), bu iki grup ile Grup-3 arasında istatiksel olarak anlamlı fark bulundu ($p<0.05$).

Gruplar içi atelektazi (Şekil-1) gelişimi açısından karşılaştırıldığında Grup-1'de 10 deney hayvanının 3'ünde, Grup-3'de 10 deney hayvanının 4'ünde atelektazi gelişmişken Grup-2'de 10 deney hayvanının sadece birinde atelektazi geliştiği gözlemlendi. Bu sonuçlar istatiksel olarak anlamlıdır ($p<0.05$). Gruplar arası atelektazi gelişimi açısından karşılaştırıldığında, Grup-2'de Grup-1 ve Grup-3'e göre daha az atelektazi geliştiği görüldü. Bu sonuçlar istatistiksel olarak ileri derecede anlamlıdır ($p<0.01$).

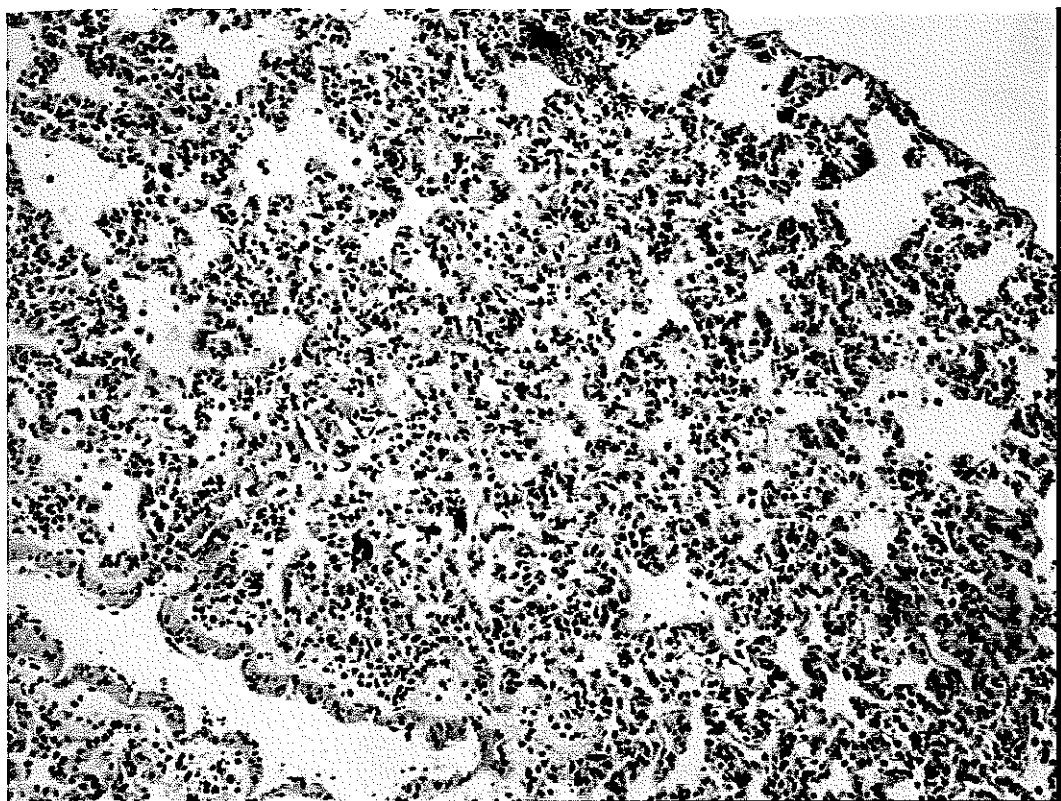
Gruplar interstisyal PNL infiltrasyonu (Şekil-8) görülmesi açısından karşılaştırıldığında, Grup-1 ile Grup-2 arasında bir fark bulunmazken Grup-3'de ise istatiksel olarak anlamlı derecede daha fazla interstisyal PNL infiltrasyonu geliştiği görüldü ($p<0.05$).

Gruplar arası alveol içi PNL infiltrasyonu (Şekil-6) açısından karşılaştırıldığında Grup-1 ve Grup-3 arasında fark bulunmazken Grup-2'de ise istatiksel olarak anlamlı derecede daha az alveol içi PNL infiltrasyonu geliştiği görüldü ve istatiksel olarak anlamlı bulundu ($p<0.05$).

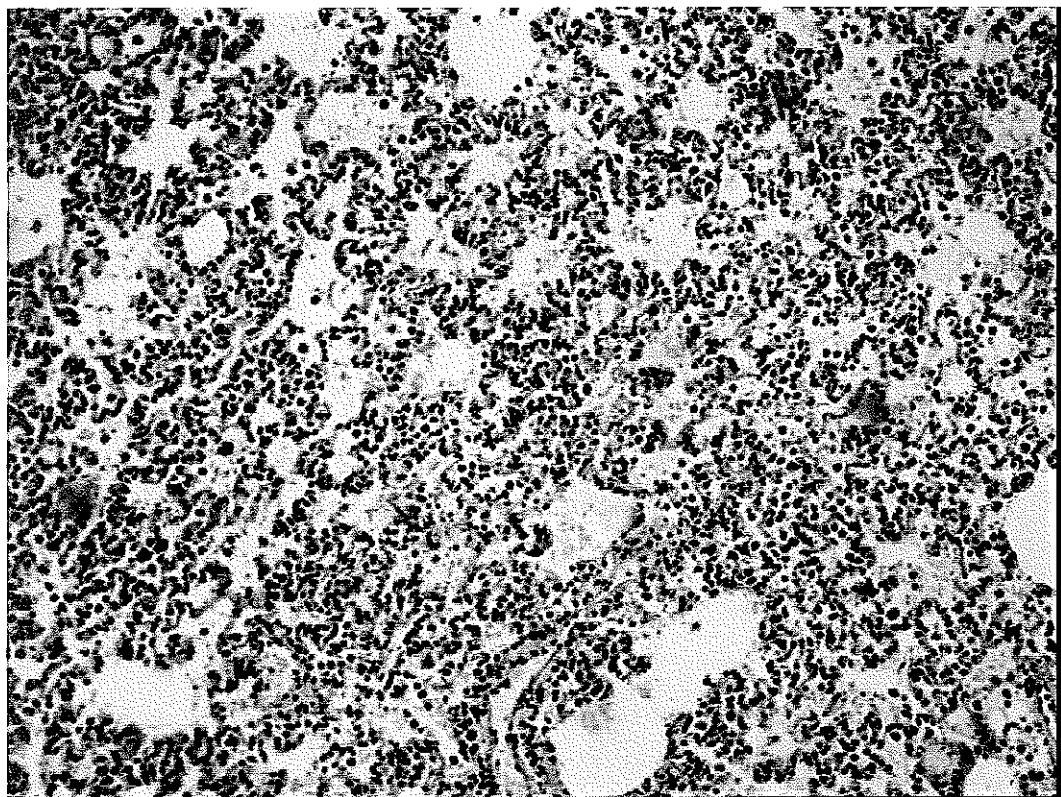
Gruplar arası alveoler ödem (Şekil-2) açısından karşılaştırıldığında Grup-1 ve Grup-3 arasında fark yoktu ve her iki grupta da 10 deney hayvanının 2'sinde alveoler ödem görüldü, oysa Grup-2'de ise hiçbir deney hayvanında alveoler ödem gelişmedi. Bu sonuçlara göre Grup-2 ile Grup-1 ve Grup-3 karşılaştırıldığında alveoler ödem gelişmesi açısından istatiksel olarak anlamlı fark bulundu ($p<0.05$)

Patolojik olarak incelenen tüm preparatlarda daha önce literaturde bildirilmiş çalışmalarдан farklı olarak, değişik derecelerde, peribronşiyal alanlarda daha yoğun perivasküler alanlarda hafif derecede olmak üzere lenfosit ve plazma hücre infiltrasyonu (Şekil-9) izlendi.

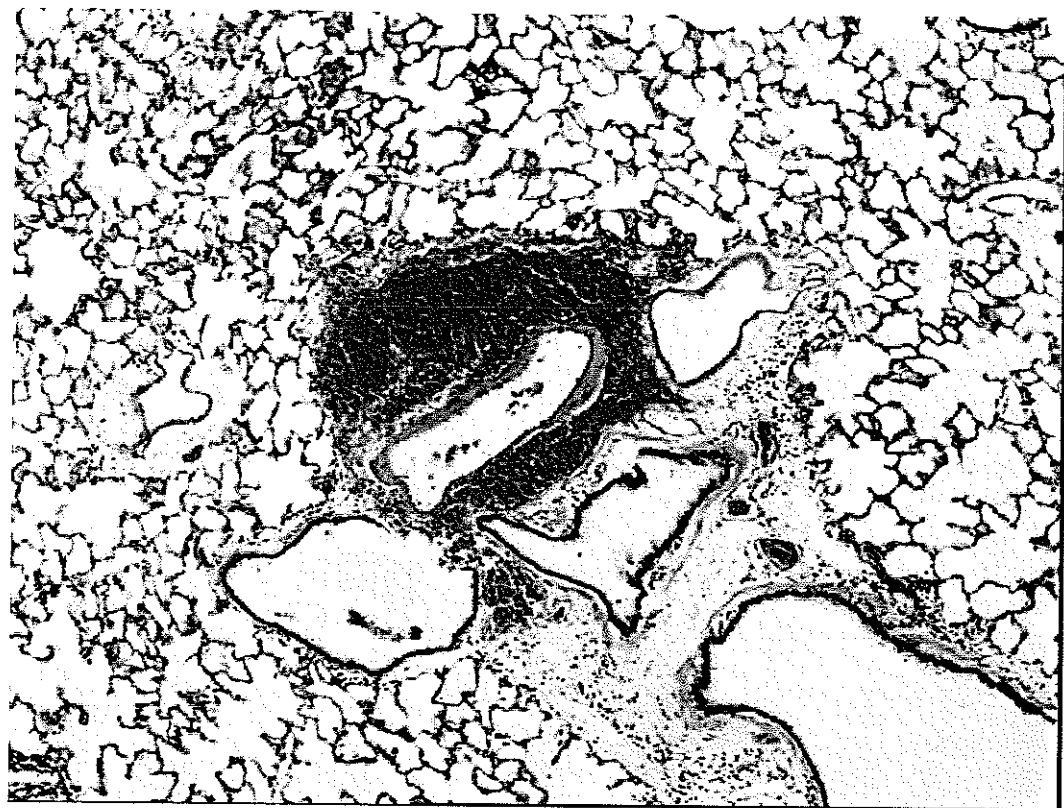
Bir gün süreyle % 10 formalin solusyonunda bekletilmiş akciğer piyeslerine makroskopik olarak bakıldığından da belirgin olarak Grup-3'deki akciğer piyeslerinin (Şekil-12), daha fazla hiperemik ve konjesyone olduğu, Grup-2'deki piyeslerin (Şekil-11) daha az hiperemik ve konjesyone olduğu ve Grup-2'deki akciğer piyeslerinin (Şekil-10) en iyi makroskopik görünümeye sahip olduğu kanısına vardık.



Şekil-1 Atelektazi alanları (HEx100)



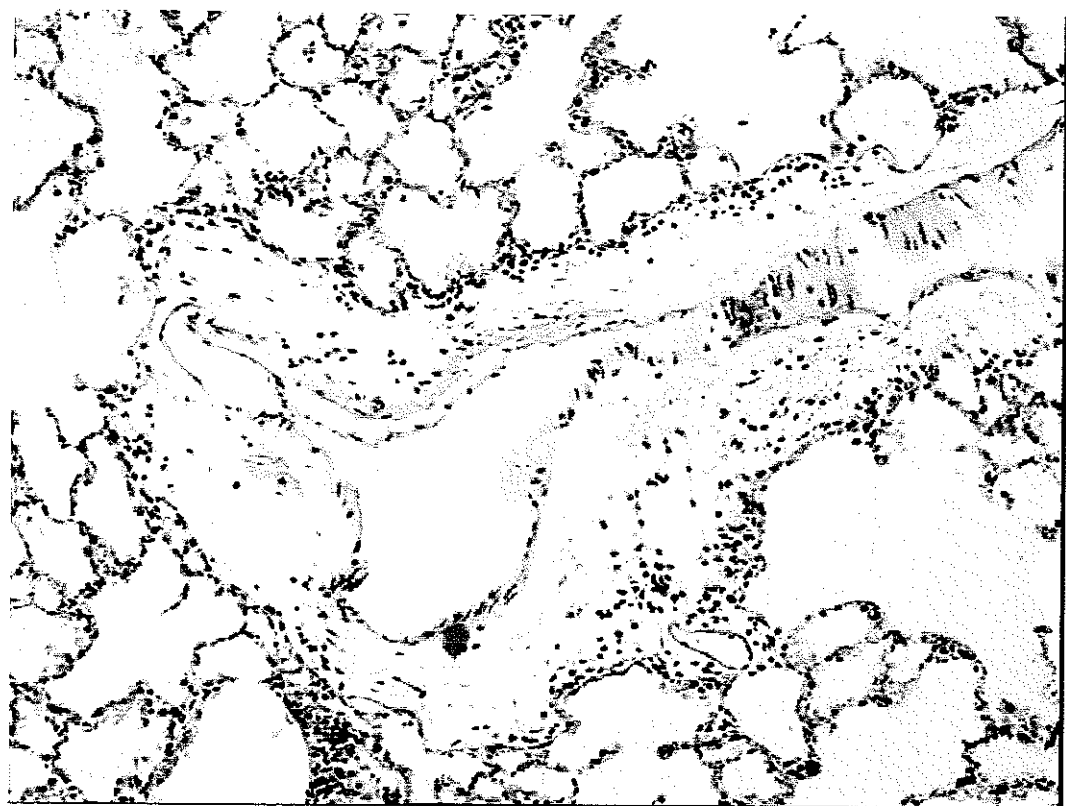
Şekil-2 Atelektazi ve alveoler ödem (HEx100)



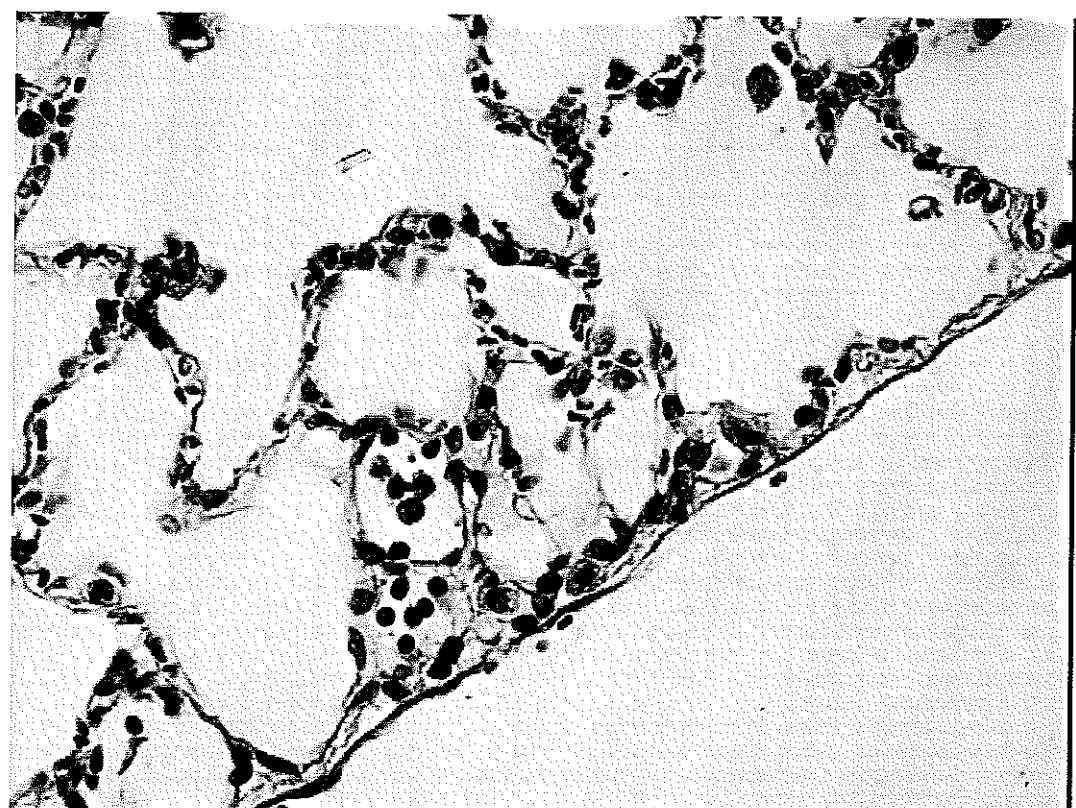
Şekil-3 Yoğun perivasküler kanama (HEx50)



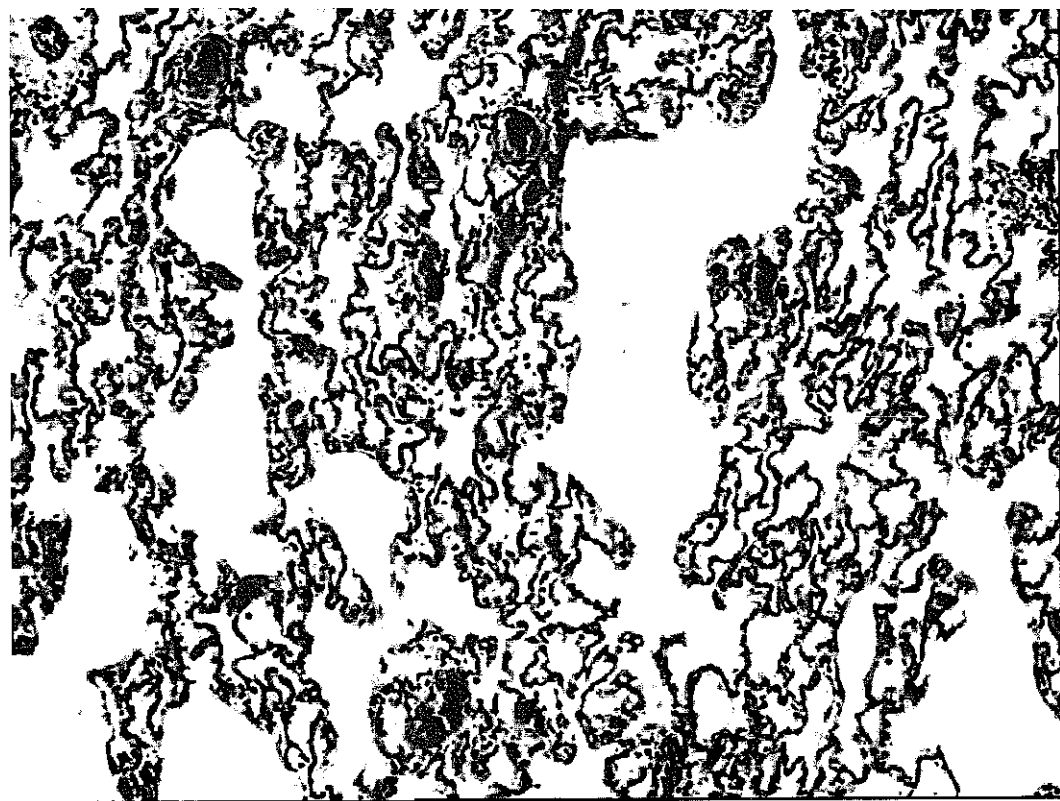
Şekil-4 Peribronşiyal ödem alanları (HEx50)



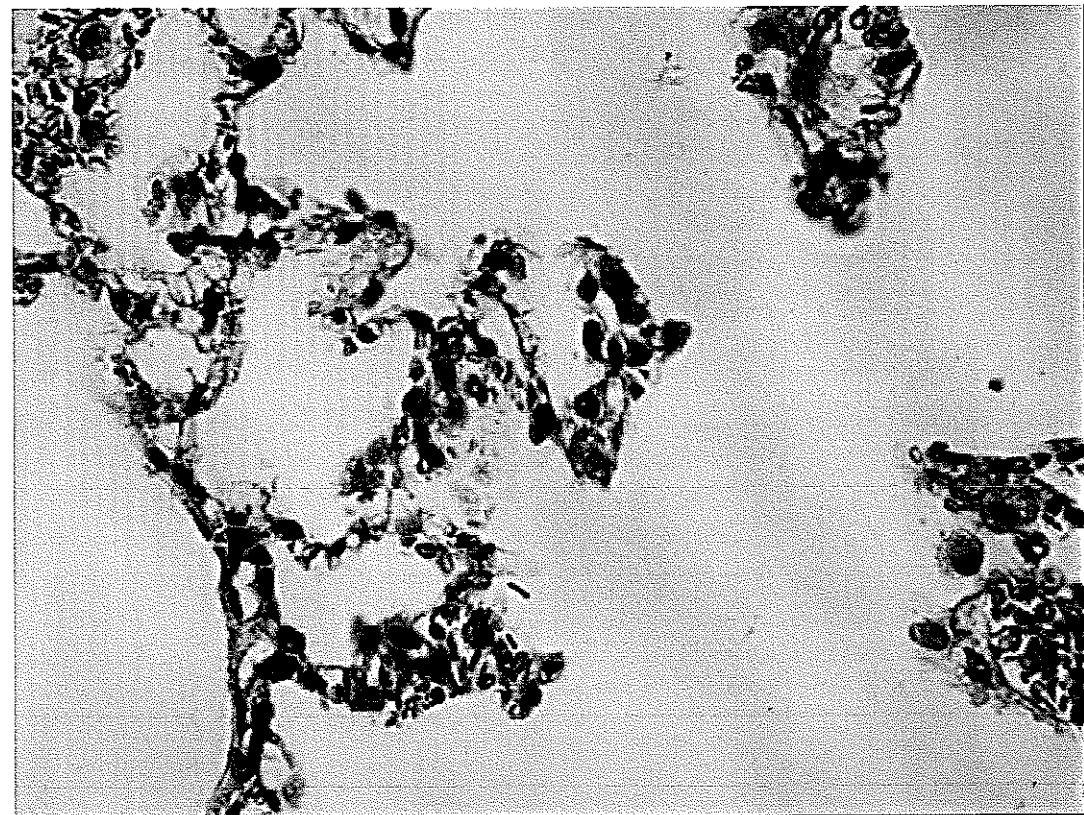
Şekil-5 Perivasküler ödem (HEx100)



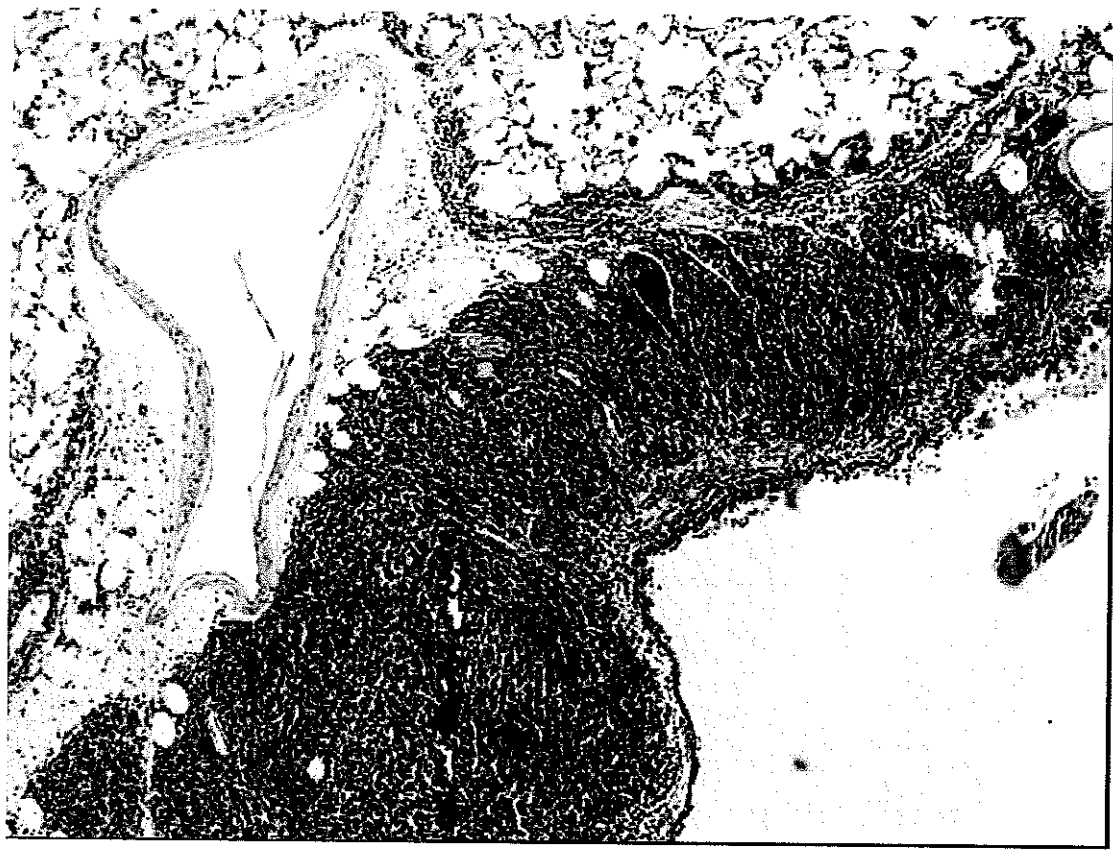
Şekil-6 Minimal intraalveoler PNL infiltrasyonu (HEx400)



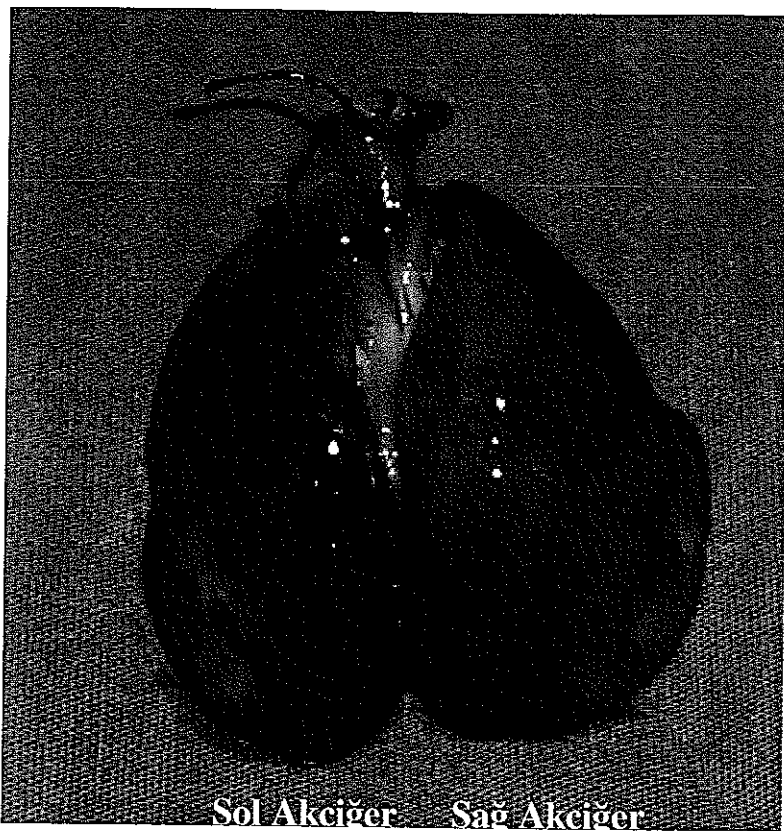
Şekil-7 Yoğun konjesyon alanları (HEx100)



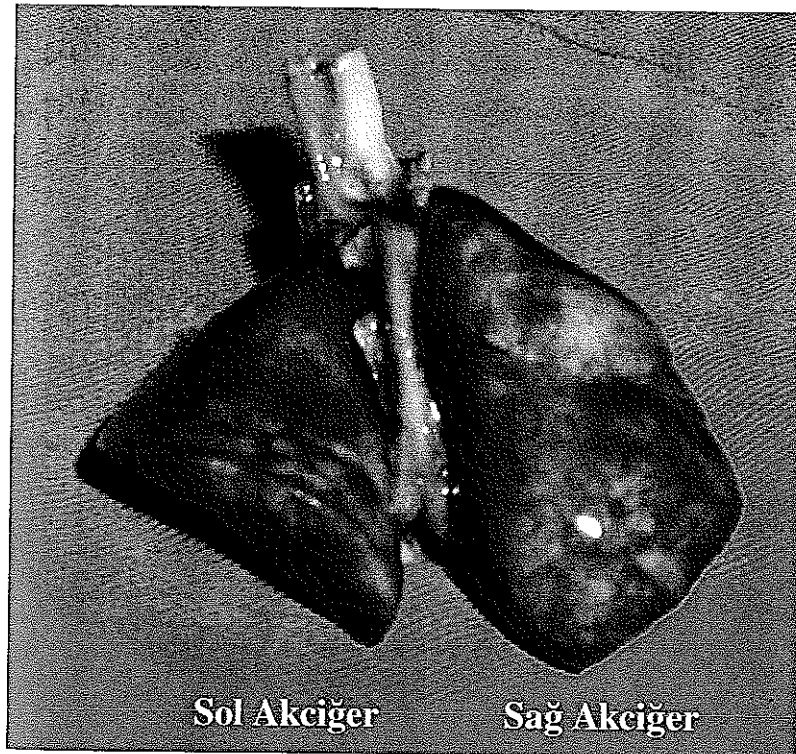
Şekil-8 Minimal interstisyel PNL infiltrasyonu (HEx400)



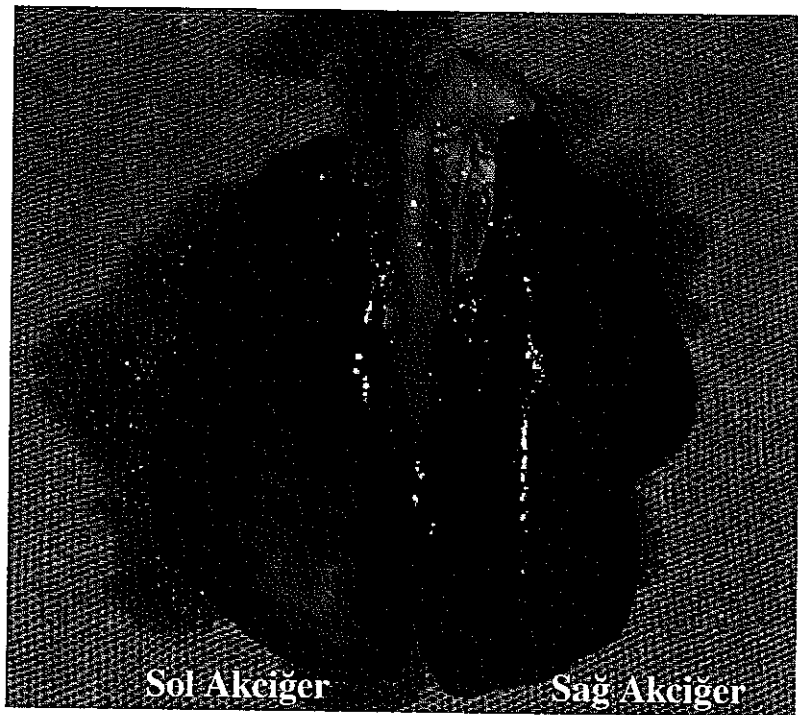
Şekil-9 Peribronşiyal alanda yoğun perivasküler alanda minimal lenfosit infiltrasyonu (HEx50)



Şekil-10. Grup-1'de her iki akciğer piyesinin makroskopik görünümü



Şekil-11. Grup-2'de her iki akciğer piyesinin makroskopik görünümü



Şekil-12. Grup-3'de her iki akciğer piyesinin makroskopik görünümü

5. TARTIŞMA

Yoğun bakım ünitelerinde, tedavi amacıyla kullanılan mekanik ventilasyonun akciğerlerde oluşturduğu hasarı ortaya koymak oldukça zordur. Bunun için hayvanlar üzerinde değişik mekanik ventilasyon modları kullanılarak, mekanik ventilasyona bağlı akciğer hasarından korunmanın yollarını bulmak amacıyla çeşitli çalışmalar yapılmaktadır. Bu amaçla birçok mekanik ventilasyon modları ve ventilasyon stratejileri denenmektedir. Bu mekanik ventilasyon stratejileri içinde en sık başvurulanlar, tidal volümler ve PEEP seviyesi uygulamaları ile ilgilidir. Biz de çalışmamızda, tek akciğer hasarı olan deney hayvanlarında özellikle sağlam akciğer olmak üzere her iki akciğeri de daha iyi koruyabileceğimiz mekanik ventilasyon stratejisini belirlemeyi amaçladık. Çalışmamızda, 30 adet sağlıklı dişi wistar cinsi rati, n=10 olacak şekilde 3 gruba ayırdık. Grup-1 yüksek tidal volüm (12ml. kg^{-1}) + düşük PEEP ($5\text{ cmH}_2\text{O}$) ile, Grup-2 düşük tidal volüm (8ml. kg^{-1}) + yüksek PEEP ($10\text{ cmH}_2\text{O}$) ile ve Grup-3 yüksek tidal volüm (12ml. kg^{-1}) + yüksek PEEP ($10\text{ cmH}_2\text{O}$) ile ventile edildi. 3 değişik ventilasyon stratejisi ile mekanik ventilasyona bağlı akciğer hasarının derecesini histopatolojik olarak değerlendirmeyi, bu ventilasyon stratejilerinin oksijenizasyon, hemodinami ve ventilasyon parametreleri üzerine olan etkilerini karşılaştırmayı ve sonuçta hangi ventilasyon stratejisinin en az mekanik ventilasyona bağlı akciğer hasarı meydana getirdiğini belirlemeyi amaçladık.

Gattinoni ve ark., orta ve şiddetli derecede akut solunum yetersizliği ve ARDS tanısı konulan 22 hastayı, VT 10 mL/kg , FiO₂ 0,6-1, I/E 1/1 olacak şekilde $5\text{ cmH}_2\text{O}$, $10\text{ cmH}_2\text{O}$ ve $15\text{ cmH}_2\text{O}$ PEEP değerleriyle 25'er dakika süreyle ventile etmişler. $5\text{ cmH}_2\text{O}$ PEEP uygulandığında, $\text{PaO}_2=71\pm29.5\text{ mmHg}$, $\text{PaCO}_2 39.8\pm9.6\text{ mmHg}$, $10\text{ cmH}_2\text{O}$ PEEP uygulandığında $\text{PaO}_2 79.3\pm33.2\text{ mmHg}$ ve $\text{PaCO}_2 38.6\pm8.9\text{ mmHg}$, $15\text{ cmH}_2\text{O}$ PEEP uygulandığında ise $\text{PaO}_2 93.5\pm29.5\text{ mmHg}$ ve $\text{PaCO}_2 38\pm8.2\text{ mmHg}$ olarak bulunmuştur. Sonuç olarak, PaO_2 , $10\text{ cmH}_2\text{O}$ PEEP uygulandığında, 5

cmH_2O PEEP uygulanmasına göre istatistiksel olarak anlamlı derecededaha yüksek bulunmuştur ($P<0.05$). Yine PaO_2 , $15 \text{ cmH}_2\text{O}$ PEEP uygulandığında, $5 \text{ cmH}_2\text{O}$ PEEP uygulanmasına göre yüksek olup, bu sonuç istatistiksel olarak ileri derecede anlamlı bulunmuştur ($p<0.01$). PaCO_2 ise, $15 \text{ cmH}_2\text{O}$ PEEP uygulandığında, $5 \text{ cmH}_2\text{O}$ PEEP uygulamasına göre daha düşük olup, bu sonuç da istatistiksel olarak ileri derecede anlamlı bulunmuştur ($P<0.01$). PEEP ile birlikte daha önceden ventile olmayan alveollerin açıldığı, böylece şantın azaldığı ve bunun da oksijenasyonu düzelttiği şeklinde yorumlanmıştır (56). Biz de çalışmamızda, oksijenizasyon açısından yüksek PEEP uyguladığımız Grup-2 ve Grup-3'de daha iyi değerler elde ettik. Ortalama PaO_2 değeri Grup-2'de $145.9 \pm 30.2 \text{ mmHg}$, Grup-3'de $165.3 \pm 27.7 \text{ mmHg}$ 'dan sırasıyla $288.9 \pm 61.1 \text{ mmHg}$ ve $289.8 \pm 73.5 \text{ mmHg}$ 'a yükselmiştir. Grup-1'de bu yükselme olmamış, hatta çok az da olsa oksijenizasyon kötüleşmiştir, başlangıç PaO_2 değeri $123.7 \pm 17.2 \text{ mmHg}$ 'dan $123.2 \pm 22.3 \text{ mmHg}$ 'a düşmüştür. Oksijenizasyon açısından Grup-2 ve Grup-3, Grup-1 ile karşılaştırıldığında PaO_2 , $10 \text{ cmH}_2\text{O}$ PEEP uygulanan Grup-2 ve Grup-3'de, $5 \text{ cmH}_2\text{O}$ PEEP uygulanan Grup-1'e göre daha yüksek bulundu ve oksijenizasyondaki bu iyileşme, istatistiksel olarak ileri derecede anlamlıydı ($p<0.01$). Sonuçta biz de PEEP ile birlikte daha önceden ventile olmayan alveollerin açıldığı, böylece şantın azaldığı ve sonuçta oksijenasyonun daha yüksek PEEP ile düzelebileceği kanısına vardık. Çalışmamız oksijenizasyon açısından Gattinoni ve ark. (56) yaptığı çalışmayla benzer sonuçlar içermektedir.

Kolobow ve ark (12), sağlıklı 16 koyunu 2 gruba ayırmış ve 48 saat süreyle birinci grubu ($n=9$) $V_t 10 \text{ ml} \cdot \text{kg}^{-1}$ ve $P_{peak} 15-20 \text{ cmH}_2\text{O}$, ikinci grubu ($n=7$), $V_t 50-70 \text{ ml} \cdot \text{kg}^{-1}$ ve $P_{peak} 50 \text{ cmH}_2\text{O}$ parametreleriyle ventile etmişler. Her iki grupta da $\text{FiO}_2 1,0$ ve solunum sayısı $14 \cdot \text{dk}^{-1}$ uygulanmış. Birinci grupta, başlangıçta $\text{pH } 7.40 \pm 0.07$, $\text{PaCO}_2 40.5 \pm 5.9 \text{ mmHg}$, $\text{PaO}_2 173 \pm 15 \text{ mmHg}$ iken 48 saat sonra $\text{pH}=7.36 \pm 0.04$, $\text{PaCO}_2 38.7 \pm 4.1 \text{ mmHg}$, $\text{PaO}_2 182 \pm 18 \text{ mmHg}$, ikinci grupta başlangıçta $\text{pH } 7.43 \pm 0.09$, PaCO_2

36.4 ± 5.2 mmHg, $\text{PaO}_2 = 175 \pm 15$ mmHg iken 48 saat sonra $\text{pH} = 7.21 \pm 0.21$, $\text{PaCO}_2 = 43.9 \pm 12.1$ mmHg, $\text{PaO}_2 = 67 \pm 24$ mmHg bulunmuştur. İkinci grubun pH değeri, birinci gruba göre düşüktür ve bu istatistik olarak ileri derecede anlamlı bulunmuştur ($P < 0.01$). PaO_2 değeri ise birinci grupta, ikinci gruba göre istatistik olarak anlamlı yüksek bulunmuştur ($P < 0.01$). PaCO_2 ise ikinci grupta birinci gruba göre istatistiksel olarak anlamlı yüksek bulunmuştur ($P < 0.05$). yüksek volüm ve yüksek Ppeak'e bağlı oluşan ağır akciğer hasarı nedeniyle hem PaO_2 düşmüş, PaCO_2 yükselmiş ve hem de oluşan metabolik asidoz nedeniyle pH düşmüştür (12). Bizim çalışmamızda, daha yüksek peak basıncı uygulanmak zorunda kaldığımız Grup-3'de pH değerleri 7.31 ± 0.12 'den 7.28 ± 0.11 'e kadar düşmüştür ve bu düşüş istatistik olarak anlamlıdır ($p < 0.05$). Bu sonuç Kolobow ve ark.'nın yaptığı çalışma ile uyumlu olmasına rağmen daha fazla akciğer hasarının meydana geldiği bu yüksek basınç grubunda oksijenizasyon açısından kötüleşme görülmemesi bu çalışmam ile uyumlu değildir. Bu sonucun mekanik ventilasyon süresiyle ilişkili olabileceği kanısına vardık. Bu şekilde ventilasyona devam edilmesi halinde bir süre sonra, yüksek tidal volüm ve yüksek peak basıncı uygulamak zorunda kaldığımız ve akciğer patolojisi açısından çok kötü olan Grup-3'de oksijenizasyonun düşük tidal ve dolayısıyla düşük peak basıncı uyguladığımız Grup-2'ye göre çok daha kötüleşeceği kanisındayız.

Dreyfus ve ark.(10), 20 rat üzerinde yaptıkları çalışmada, hayvanları $n=5$ olmak üzere 4 gruba ayrıarak, 1 gruba yüksek tidal volüm (39 mL/kg) + ZEEP, 2.gruba orta derecede tidal volüm (13 mL/kg)+10 cmH₂O PEEP, 3.gruba orta tidal volüm+10 cmH₂O PEEP + 40 µg/kg/dk dopamin uygulayarak 20 dk. süreyle, dördüncü gruba ise düşük tidal volüm (7mL/kg)+15 cmH₂O PEEP uygulayarak 5 dk. boyunca ventile etmişlerdir. Başlangıçta 96 ± 10.1 mmHg olan MAP, yüksek volüm (39 ml/kg)+ZEEP uygulanan grupta 62 ± 8 mmHg'ya, orta volüm (12 mL/kg) + PEEP (10 cmH₂O) uygulanan grupta başlangıçta 93 ± 10 mmHg olan MAP ise 52 ± 12.8 mmHg'ya düşmüştür. Orta tidal volüm + 10 cmH₂O PEEP±40

$\mu\text{g}/\text{kg}/\text{dk}$ dopamin infüzyonu yapılan grupta ise başlangıçta $96 \pm 11,4$ olan MAP= 78 ± 6 mmHg olarak saptanmıştır. Düşük tidal volüm + 15 PEEP uygulanan grupta ise hemodinamik bir değişiklik meydana gelmemiştir, ancak bugrup sadece 5 dakika ventile edilmiş. Yüksek volüm + ZEEP uygulanan gruptaki MAP düşüşü, orta volüm + 10 cmH₂O'luk PEEP'teki kadar olmadığından, MAP düşüşü uygulanan PEEP'in etkisine bağlanmıştır.

Kolobow ve ark.(12), toplam 16 sağlıklı koyun üzerinde yaptıkları çalışmada, hayvanları iki gruba ayırarak; birinci grubu (n=9), Vt 8 -15 mL/kg, solunum sayısı 16, PEEP +6 ile +8 cmH₂O, FiO₂ 1, Ppeak 20 cmH₂O olacak şekilde 48 saat ventile etmişlerdir Ventilasyon süresince 5 ml.kg⁻¹ laktatlı ringer infüzyonu yapmışlar ve hemodinamik değişiklik saptamamışlardır. İkinci grubu (n=7) Ppeak 50 cmH₂O, Vt 50-70 ml/kg parametreleriyle ventile etmişler ve OAB'nın başlangıç değerinin % 60'ına düşüğünü saptamışlardır ve bu düşme istatistiksel olarak anlamlı bulunmuştur ($P < 0,05$). Çalışmada kullanılan yüksek volüm ve yüksek basınç nedeniyle intratorasik basıncın artması ve buna bağlı olarak venöz dönüş azalması nedeniyle orta arter basıncının düşüğü kanısına varmışlar.

Dreyfus ve ark.(57)'ın yaptıkları çalışmada toplam 26 adet rat 20 dakika süreyle ventile edilmiş. Kontrol grubunda (n=6), Vt 13 ± 3 mL.kg⁻¹, Ppeak 7 cmH₂O uygulanmış ve MAP 125 ± 17 mmHg ve KAH 270 ± 28 vuru.dk⁻¹ bulunmuş, ikinci grupta (n=6), Vt 40 ± 3 mL.kg⁻¹, Ppeak 45 cmH₂O uygulanmış ve MAP 46 ± 9 mmHg ve KAH 216 ± 22 vuru.dk⁻¹ bulunmuş, üçüncü grupta (n=7), Vt 25 ± 1 mL.kg⁻¹, Ppeak 45 cmH₂O, PEEP 10 cmH₂O uygulanmış ve MAP 55 ± 5 mmHg, KAH 240 ± 29 vuru.dk⁻¹ bulunmuş, dördüncü grupta ise (n=7), Vt 19 ± 1 mL.kg⁻¹, Ppeak 45 cmH₂O uygulanmış ve MAP 96 ± 2 mmHg, KAH= 236 ± 19 vuru.dk⁻¹ bulunmuştur. Sonuçta MAP, Vt 40 ± 3 mL.kg⁻¹ ve Vt $25 \text{ml}.\text{kg}^{-1}$ 10 cmH₂O PEEP

uygułanan grplarda, ileri derecede anlamlı olarak düşmüştür. Yine kalp atım hızları da azalmıştır. Bunun intratorasik basıncın artması, buna bağlı venöz dönüşün azalması ve sonuç olarak kalp debisinin azalmasına bağlı olduğu sonucuna varmışlardır.

Bizim çalışmamızda, Grup-1, Grup-2 ve Grup-3'de orta arter basıncı sırasıyla, 88.1 ± 10.7 , 88.7 ± 10.2 , 96.6 ± 8.5 mmHg'dan 67.9 ± 12.7 , 68.6 ± 4.0 , 46.0 ± 2.3 mmHg'ya düşmüştür. Grup-1 ve Grup-2 deki orta arter basıncındaki bu düşüşler anlamlı ($p < 0.05$) iken, Grup-3'de ileri derecede anlamlıydı ($p < 0.01$). Gruplar arası karşılaştırma yapıldığında, diğer grplarla karşılaştırıldığında Grup-3 deki orta arter basıncındaki düşüş ileri derecede anlamlıydı ($p < 0.01$). Bu bulduğumuz sonuçlar yukarıdaki Dreyfus ve ark. çalışması ile uyumlu oduğu gibi literatürdeki birçok çalışmaya da uyumludur. Yüksek havayolu basınçlarının olduğu özellikle Grup-3'de olmak üzere intratorasik basıncın artması, buna bağlı venöz dönüşün azalması ve sonuç olarak kalp debisinin azalmasına bağlı olarak kan basıncında azalma meydana geldiği sonucuna vardık. Hemodinamik parametrelerdeki bozulmalar için $3-10 \mu\text{g}/\text{kg}/\text{dk}$ doz aralığında dopamin infüzyonları kullanıldı. Grup-3'de tüm deney hayvanlarında dopamin dozu $10 \mu\text{g}/\text{kg}/\text{dk}'a$ çıkışmasına rağmen, Grup-1'de 10 deney hayvanından 7'sinde $10 \mu\text{g}/\text{kg}/\text{dk}$ dozuna, Grup-2'de ise hiçbir deney hayvanın $10 \mu\text{g}/\text{kg}/\text{dk}$ dozuna çıkışmamıştır.

Yüksek tidal volümllerin kullanıldığı Grup-2'de peak basıncı, 30.2 ± 2.2 cmH₂O'dan 37.7 ± 4.1 cmH₂O'ya, Grup-3'de 40.2 ± 1.5 cmH₂O'dan 52.0 ± 1.7 cmH₂O'ya çıktıgı gözlemlendi. Gruplar arası karşılaştırma yapıldığında Grup-3'de havayolu basıncındaki yükselme diğer grplar ile karşılaştırıldığında çok yükseltti ve bu yükseklik istatistiksel olarak ileri derecede anlamlıydı ($p < 0.01$). Sonuçta mekanik ventilasyon stratejisinin hemodinami üzerine de en az oksijenizasyon ve akciğer hasarı kadar etkili olduğu kanısına vardık. Yüksek tidal volümle intratorasik basıncın

artlığı, buna bağlı venöz dönüşün azaldığı ve sonuç olarak kalp debisinin azalmasına bağlı olarak kan basıncında azalma meydana geldiği sonucuna vardık.

Çalışmamızda, kalp atım hızı açısından değerlendirme yapıldığında tüm grplarda başlangıç değerlerine göre azalma saptandı, ancak Grup-3'deki bu azalma belirgin olarak fazlayken Grup-2'deki azalma nispeten daha azdı ve bu sonuçlar literatür bilgileri ile uyumluydu.

Argiras ve ark., toplam 16 tavşan üzerinde yaptıkları çalışmada hayvanları iki gruba(n=8) ayırmışlar; İlk grubu PEEP < 5cmH₂O (PEEP alt infleksyon noktasının altında), ikinci grubu ise PEEP > 5cmH₂O (PEEP alt infleksyon noktasının üzerinde), FiO₂=1.0 ile ventile etmişler ve yapılan histopatolojik incelemede düşük PEEP uyguladıkları grupta hyalen membran oluşumunu, respiratuar bronşiyollerde ve alveollerde eozinofil ve nötröfillerin sayısının ve yaygınlığının arttığını, 5 cmH₂O'nun üstünde PEEP uyguladıkları grupta ise hyalen membran oluşumunun istatistikî olarak çok ileri derecede düştüğünü görmüşler ($p<0,01$) ve PEEP'in hyalen membran oluşumunu azalttığı kanısına varmışlardır (58).

Muscedere ve ark(31) , 21 rat üzerinde yaptıkları çalışmada, birinci gruba, PEEP 0 cmH₂O, 2.gruba, PEEP < Pinf. ve 3.gruba ise PEEP > Pinf. noktası olmak üzere FiO₂ 1,0, solunum sayısı 45.dk⁻¹ ve Ppeak 14 cmH₂O olacak şekilde basınç limitli mekanik ventilasyon uygulamışlar. Tavşanların akciğerlerinde yapılan histopatolojik incelemede, birinci grupta akciğer hasar skorları; hyalen membran oluşumu % 23±1,9, respiratuar bronşiyollerde hasar % 48,2±23, membranöz bronşiyollerde hasar % 49,2±22,7 olup, total hava yolu hasar skoru ise % 40,1±14,6 bulunmuştur. İkinci grupta ise akciğer hasar skorları; hyalen membran oluşumu % 55,4±21,5, respiratuar bronş hasar skoru % 24,2±7,8, membranöz bronşyo hasarı % 14,8±7,7 olup, total hava yolu hasar skoru ise %

31,4±8,8 bulunmuştur. Üçüncü grupta ise akciğer hasar skorları; hyalen membran oluşumu % 11,3±3,5, respiratuar bronş hasarı % 15,4±3,8, membranöz bronşiyol hasarı % 14,2±9,2 olup, total hava yolu hasar skoru ise % 13,6±3,4 olarak bulunmuştur. Sonuç olarak PEEP > Pinf. noktası olursa hyalen membran oluşumunun önlediği, alveollerde ve küçük hava yollarında sürekli açılıp kapanma siklusleni oluşmasının önlediği içinde akciğer hasanını önleyici etkisi olduğu kanısına varmışlardır.

Tsuno ve ark.(59)'nın 17 sağlıklı, 14-21 günlük domuz yavrusu üzerinde yaptığı çalışmada, 11 domuz yavrusunu Ppeak 40 cmH₂O, solunum sayısı 20.dk⁻¹, PEEP 3-5 cmH₂O ve FiO₂ 0.4 ile ventile etmişlerdir. Beş domuz 22±11 saat sonra histopatolojik inceleme için öldürülmiş ve şu akciğer değişikleri saptanmıştır; alveoler hemoraji, alveoler nötrofil infiltrasyonu, alveoler makrofaj ve tip II pnömosit infiltrasyonu, interstisyel konjesyon ve kalınlaşma, interstisyel lenfosit infiltrasyonu, amfizematöz değişiklikler ve hyalen membran oluşumu. Bütün bu değişikliklerin ARDS'nin erken dönem bulguları olduğunu görmüşlerdir. Diğer 6 domuz ise aynı parametrelerle 3-6 gün daha ventile edildikten sonra, akciğerlerin histopatolojik incelemesinde bu bulgulara ek olarak bol miktarda organize eksudaya rastlanmıştır. Üçüncü gruba ise (kontrol grubu, n=6)) Ppeak 18 cmH₂O, solunum sayısı 20.dk⁻¹, PEEP +3 ile +5 cmH₂O, FiO₂ 0.4 ile 48 saat mekanik ventilasyon uygulanmıştır. Bu grupta diğer gruplara göre histopatolojik bulgularda anlamlı bir değişiklik saptanmamıştır. Sonuca, agresif MV ve yüksek Ppeak sıklıkla respiratuar distresli hastalara, yeterli akciğer gaz değişimini sağlayabilmek için uygulanabilirse de, bu tip tedavilerin akut akciğer hasarı oluşmasına sebep olduğu kanısına varmışlardır.

Çalışmamızda, akciğerlerin histopatolojik incelemesinde; sağ akciğer için atelektazi sırasıyla Grup-3 > Grup-1 > Grup-2, perivasküler kanama Grup-3 > Grup-2 > Grup-1, alveolar ödem sırasıyla Grup-3 = Grup-2 > Grup-1,

peribronşiyal ödem sırasıyla Grup-3 = Grup-2 > Grup-3, perivasküler ve interstisyel ödem sırasıyla Grup-1 = Grup-2 > Grup-3, alveol içi PNL infiltrasyonu sırasıyla Grup-3 = Grup-1 > Grup-2, hyalet membran sırasıyla Grup-3 = Grup-1 > Grup-2, konjesyon sırasıyla Grup-2 = Grup-3 > Grup-1, interstisyel PNL infiltrasyonu sırasıyla Grup-3 = Grup-1 = Grup-2 olarak, sol akciğer için atelektazi sırasıyla Grup-3 > Grup-1 > Grup-2, perivasküler kanama Grup-3 > Grup-1 > Grup-2, alveolar ödem sırasıyla Grup-3 > Grup-1 > Grup-2, peribronşiyal ödem sırasıyla Grup-3 = Grup-2 = Grup-3, perivasküler ve interstisyel ödem sırasıyla Grup-2 > Grup-3 > Grup-1, alveol içi PNL infiltrasyonu sırasıyla Grup-3 = Grup-2 > Grup-1, hyalet membran sırasıyla Grup-3 > Grup-1 = Grup-2, konjesyon sırasıyla Grup-2 > Grup-1 = Grup-1, interstisyel PNL infiltrasyonu sırasıyla Grup-3 = Grup-1 = Grup-2 olarak bulundu. Akciğer hasarı açısından gruplar arası karşılaştırma yapıldığında sağ akciğerler karşılaştırıldığında, toplam skorlarda Grup-3 > Grup-1 > Grup-2, sol akciğerler karşılaştırıldığında, toplam skorlarda Grup-3 > Grup-1 > Grup-2 olarak bulundu. Bu skorlar göz önüne alındığında, akciğer patolojisi açısından her iki akciğer içinde en kötü akciğer patolojisinin Grup-3'te, en iyi akciğer patolojisinin ise Grup-2'de görüldüğü bulunmuştur. Bu skorlar gruplar arası istatiksel olarak değerlendirildiğinde her iki akciğer için de Grup-3'te anlamlı olarak daha fazla akciğer patolojisinin görüldüğü saptandı. ($p<0.05$) Mekanik ventilatöre bağlı akciğer hasarının değerlendirildiği literatürler de benzer bulgular vardı. Bu bulgular değerlendirildiğinde akciğer hasarı açısından en iyi ventilasyon stratejisinin Grup-2'de uygulanan yüksek PEEP ve düşük tidal volüm stratejisi olduğu kanısına vardık. Bu ventilasyon stratejisi ile ventile edilen deney hayvanlarında, hemodinami ve oksijenizasyonun daha iyi olduğu ve daha az akciğer hasarına meydana geldiği kanısına vardık.

SONUÇLAR

Onar deney hayvanından oluşan 3 gruba ayrılan deney hayvanlarına, HCl ile kimyasal olarak tek taraflı akciğer hasarı modeli oluşturuldu ve değişik ventilasyon stratejileri ile ventile edildi. Birinci gruba düşük PEEP + yüksek tidal volüm, ikinci gruba yüksek PEEP + düşük tidal volüm, üçüncü gruba yüksek PEEP + yüksek tidal volüm ile mekanik ventilasyon uygulandı. İki saat boyunca hemodinami, oksijenizasyon, havayolu basınçları takip edildi. İki saat sonunda alınan akciğerler patolojik olarak akciğer hasarı açısından değerlendirildi. İki saat boyunca takip edilen deney hayvanlarında, oksijenizasyon açısından değerlendirme yapıldığına, en iyi oksijenizasyona yüksek PEEP + yüksek tidal volümün verildiği Grup-1'de karşılaşmasına rağmen yüksek PEEP + düşük tidal volüm uygulanan Grup-2'de de en az Grup-3 kadar yüksek oksijenizasyon değerleriyle karşılaştık. Sonuçta ventilasyon süresinin uzamasıyla patolojik açıdan çok daha fazla hasarlı olan Grup-3'de oksijenizasyonun daha fazla kötüleşeceği kanısındayız. Oksijenizasyonun daha optimum değerlendirilebilmesi için daha uzun mekanik ventilasyon süresinin içeren deneysel çalışmalara ihtiyaç vardır.

İki saat boyunca hemodinamik açıdan takip edilen deney hayvanlarında, en kötü hemodinamik sonuçlara yüksek PEEP + yüksek tidal volümün verildiği Grup-3'de rastlandı. Bu mekanik ventilasyon stratejisi hemodinamik değerleri baştan sona kadar olumsuz yönde etkiledi. Dahası bu mekanik ventilasyon stratejisini kullanıldığı bu grupta tüm deney hayvanlarında deneyin sonlandırıldığı 120 dakikada yüksek doz dopamin infüzyonu verilmesi gerekti. Oysa yüksek PEEP + düşük tidal volüm stratejisini kullanıldığı Grup-2'de hemodinami daha stabildi ve hiçbir deney hayvanında yüksek doz dopamin infüzyonu kullanılmadı. Sonuçta kullanılan yüksek PEEP değerleri hemodinamik açıdan bir dezavantaj gibi düşünulse de bu PEEP değerinin özellikle Grup-2'de herhangi bir

dezavantaja sahip olmadığı kanısına vardık. Hemodinamik verilerin kötüleşmesinde de tipki akciğer hasarını artıran yüksek tidal volümllerin daha etkili olduğu kanısına vardık.

Havayolu basınçları açısından yapılan değerlendirmede, yüksek PEEP + düşük tidal volümün kullanıldığı Grup-2'de başlangıç değerlerine göre belirgin bir yükselme olmadığı belirlendi. Kötü prognozun bir belirtisi olduğunu düşündüğümüz çok yüksek havayolu basınçlarıyla özellikle yüksek PEEP + yüksek tidal volümün uygulandığı Grup-3'te karşılaştık. Bu gruptaki stratejide, havayolu basınçlarının yükselmesinde etkin olan faktörün yüksek PEEP değerleri değil yüksek tidal volümler olsunu düşünmektediyiz. Akciğer hasarının en az olması için havayolu basınçlarında daha az değişmenin olduğu yüksek PEEP + düşük tidal volüm stratejisini daha etkili olduğu kanısına vardık.

Son olarak belki de çalışmanın planlanmasıında en etkili rolü olan mekanik ventilasyon ilişkili akciğer hasarının değerlendirilmesi yapıldığında diğer hemodinami, oksijenizasyon ve havayolu basınçlarında olduğu gibi en iyi mekanik ventilasyon stratejisinin yüksek PEEP + düşük tidal volüm stratejisi olduğu sonucuna vardık. Diğer ventilasyon stratejilerinin kullanıldığı gruplarla karşılaştırma yapıldığında bariz olarak yüksek PEEP + düşük tidal volüm grubunda akciğer hasarının daha az meydana geldiğini gördük. Bu akciğer hasarının az olmasında esas faktörün uygulanan düşük tidal volümler olduğu kanisındayız ve her ne koşulda olursa olsun mümkün olduğunda en düşük tidal volümllerin kullanılmasıyla mekanik ventilasyon ilişkili akciğer hasarının daha az olacağı kanisındayız. Tabii bu sırada kullanılması gereken yüksek PEEP değerlerinin de oksijenizasyonu optimize ettiği gibi akciğer hasarının az olmasında da etkisi olabilir

Sonuçta, tıpkı literatürdeki ARDS'lı hastalarda önerildiği gibi, tek akciğer hasarı olan hastalarda da yüksek PEEP + düşük tidal volüm stratejisinin gerek hemodinamik veriler, gerek oksijenizasyon, gerek havayolu basınçları ve gerekse akciğer hasarı açısından en avantajlı mekanik ventilasyon stratejisi olduğu kanısına vardık. Kullanılacak yüksek PEEP + düşük tidal volüm stratejisi ile özellikle ortaya çıkacak olan akciğer hasarını en az olacağı kanışındayız, ancak yine de bu fikrimizi destekleyecek daha fazla deneysel çalışma ve daha da önemlisi büyük olgu gruplarını içeren randomize klinik çalışmalara ihtiyaç vardır.

ÖZET

Giriş: Yoğun bakım ünitelerinde, tedavi amacıyla kullanılan ve amacı hayat kurtarmak olan mekanik ventilasyonun akciğerlerde oluşturduğu hasarı ortaya koymak çok zordur. Çalışmamızda, mekanik ventilasyona bağlı olarak gelişen akciğer hasarını araştırmayı amaçladık. Bu amaçla, 3 değişik ventilasyon stratejisi ile mekanik ventilasyona bağlı akciğer hasarının derecesini histopatolojik olarak değerlendirmeyi, bu ventilasyon stratejilerinin oksijenizasyon, hemodinami ve ventilasyon parametreleri üzerine olan etkilerini karşılaştırmayı ve sonuçta hangi ventilasyon stratejisinin en az mekanik ventilasyona bağlı akciğer hasarı meydana getirdiğini belirlemeyi amaçladık.

Gereç ve Yöntem: Çalışmamız, 30 adet wistar cinsi, 6 aylık dişi ratlar üzerinde yapıldı. Çalışma için her grupta 10 adet rat olmak üzere rastgele 3 gruba ayrılan deney hayvanlarına, 1 gr.kg^{-1} etil karbamate solusyonundan intraperitoneal uygulandı ve anestezi sağlandı ve ardından trakeostomi açıldı. Tüm gruplar, Siemens-Enema Servo 900C ventilatör ile $\text{FiO}_2 = \%100$ ile ventile edildi. Grup-1'e düşük PEEP + yüksek tidal volüm, Grup-2'ye yüksek PEEP + düşük tidal volüm ve Grup-3'e yüksek PEEP + yüksek tidal volüm verildi. 120. dakikanın ardından akciğerler çıkarıldı ve patolojik açıdan incelenmeye alındı.

Bulgular: Gruplar arası demografik veriler farksızdı. Gruplar PaO_2 açısından karşılaştırıldığında, Grup-2 ile Grup-3 arasında anlamlı fark bulunmazken ($p > 0.05$), Grup-1 ile bu iki grup arasında ileri derecede anlamlı olarak fark bulundu ($p < 0.01$). Grup içi ortalama MAP değerleri karşılaştırıldığında Grup-1 ve Grup-2'de 120. dakikada ortalama MAP 89.1 mmHg 'dan 67.9 mmHg 'ya düşmüş olup fark istatistiksel olarak anlamlıdır. Grup-3'de ise 120. dakikada MAP 96.6 mmHg 'dan 46.0 mmHg 'ya düşmüştür. Fark istatistiksel olarak ileri derecede anlamlıdır ($p < 0.01$). Gruplar arası karşılaştırma yapıldığında, Grup-3'de en düşük

MAP değerleri ile karşılaştırıldı ve bu düşüş istatistiksel olarak anlamlıydı ($p<0.05$). Gruplar arası ortalama peak basıncı değerleri karşılaştırıldığında Grup-1'de HCl verilmesi ardından 1. dakikada 30.2 cmH₂O'dan 120. dakikanın sonunda 37.5 cmH₂O'ya yükselmiş olup, Grup-2'de 28.2 cmH₂O'dan 33.2 cmH₂O'ya yükselmiş ve bu sonuçlar istatistiksel olarak değerlendirildiğinde anlamlı fark bulunamadı. Grup-3'de ise başlangıçta 40.2 cmH₂O olan peak basıncı değeri 120. dakikada 52 cmH₂O'ya yükseldi ve bu fark istatistiksel olarak ileri derecede anlamlıdır ($p<0.01$). Patojik açıdan karşılaştırmayı içeren skorlama sisteme göre, grupların toplam skorları değerlendirildiğinde Grup-1 ile Grup-2 arasında anlamlı fark bulunmazken ($P>0.05$), bu iki grup ile Grup-3 arasında istatistiksel olarak anlamlı fark bulundu ($p<0.05$).

Sonuç: Daha önce yapılmış birçok çalışmada, ARDS'lı hastalarda önerildiği gibi, tek akciğer hasarı olan hastalarda da yüksek PEEP + düşük tidal volüm stratejisinin gerek hemodinamik veriler, gerek oksijenizasyon, gerek havayolu basınçları ve gerekse akciğer hasarı açısından en avantajlı mekanik ventilasyon stratejisi olduğu kanısına vardık. Kullanılacak yüksek PEEP + düşük tidal volüm stratejisi ile özellikle ortaya çıkacak olan akciğer hasarını en az olacağı kanisındayız, ancak yine de bu fikrimizi destekleyecek daha fazla deneysel çalışma ve daha da önemli büyük olgu gruplarını içeren randomize klinik çalışmalarına ihtiyaç vardır.

KAYNAKLAR

1. Dreyfuss D, Saumon G. Ventilator induced lung injury- lessons from experimental studies. *Am.J.Resp.Crit.Care Med.* 1998;157: 294-323
2. Slutsky A. S: Lung injury caused by mechanical ventilation. *Chest* 116: 95-155, 1999
3. Vincent J.L: Lung protection during mechanical ventilation. In; Yearbook of Intensive Care and Emergency Medicine 1999. Ed. By; J.L. Vincent, Springer-Berlin, pp.269-270,1999
4. Webb HH, Tierney DF. Experimental pulmonary edema due to intermittent positive pressure ventilation with high inflation pressures: protection by positive end-expiratory pressure. *Am.Rev.Respir.Dis.* 1974;110:556-565
5. Vincent J.L: Yearbook of Intensive Care and Emergency Medicine 1998. Ed. by; J. L. Vincent, Springer-Berlin, pp.469-470,1998
6. Slutsky A.S: Concensus conference on mechanical ventilation – January 28-30, 1993 at Northbook Illinois, USA. Part-2- Intensive Care Medicine, 20: 150-162, 1994
7. Vincent J.L: Lung protection during mechanical ventilation; M.O. In; Yearbook of Intensive Care and Emergency Medicine 1999. Ed. by; J.L. Vincent, Springer-Berlin, pp.271-278,1999
8. Lachmann B. Open the lung and keep the lung open. *Int.Care Med.* 118:319-321, 1992
9. Amato M.B.P , C.S.V. Barbas, D.M. Mederiros, R:B. Magaldi, G. de P.P. Schettino, G. Lorenzi-Filho, R.A. Kairalla, D. Deheinzelin, C. Munoz, R. Oliveira, T.Y. Takagaki and C.R.R. Carvalho. Effect of a protective ventilation strategy on mortality in the adult respiratory distress syndrome. *N.Eng.J.Med.* 338:347-354, 1998
10. Dreyfuss D., Saumon G: Role of tidal volume, FRC and end-inspiratory volume in the development of pulmonary edema following mechanical ventilation. *Am Rev Respir Dis;* 148:1194-1203,1993

11. Banner M.J., Blanch P.B: Mechanical ventilation In: Critical Care, third edition. Ed. By: J.M. Civetta, Lippincott-raven publishers, Philadelphia, pp 712-715, 1997
12. Kolobow T., Moretti M.P., Fumgalli R: Severe impairment in lung function induced by high peak airway pressure during mechanical ventilation. *Am Rev Respir Dis*; 135:312-315, 1987
13. Corbridge T.C., Wood D.H., Crawford G: Adverse effects of large tidal volume and low PEEP in canine acid aspiration. *Am Rev Respir Dis*; 142:311-315, 1990
14. Tremblay L.N., Slutsky A S: Mechanical ventilation induced injury. In: Yearbook of Intensive Care and Emergency Medicine 1998. Ed. By: J.L. Vincent, Springer-Berlin, 1998
15. Cottrell T.S., O.R. Levine, R.M. Senior, J. Wiener, D. Spiro and A.P. Fishmann. Electron microscopic alterations at the alveolar level in pulmonary edema. *Circ Res*. 21: 783-797, 1967
16. Hurley J.V. Types of pulmonary microvascular injury. *Ann N.Y.Acad Sci.* 384:269-286, 1982
17. Bachofen M. and E.R. Weibel Structural alterations of lung parenchyma in the adult respiratory distress syndrome. In R.C. Bone, editor. *Clinics in Chest Medicine*. W.B. Saunders, Philadelphia. 35-36, 1892
18. Parker J.C., L.A. Hernandez and K.J. Peevy. Mechanisms of ventilator-induced lung injury. *Crit Care Med*. 21:131-143, 1993
19. Gattinoni L., A. Pesanti, D. Mascheroni, R. Marcolin, R. Fumagalli, F. Rossi, G. Iapicino, G. Romagnoli, L. Uziel, A. Agostoni, T. Kolobow and G. Damia. Low frequency positive pressure ventilation with extracorporeal CO₂ removal in severe acute respiratory failure. *J.A.M.A.* 256:881-886, 1986
20. Amato M.B.P., C.S.V. Barbas, D.M. Medeiros, R.B., G.D.P.P. Schettino, G. L. Filho, R.A. Kairalla, D. Deheinzelin, C. Morais, E.D.O. Fernandes, T.Y. Takagaki and C.R.R. Carvalho. Beneficia effects of the "open lung approach" with low distending pressures in

- adult respiratory distress syndrome.
Am.J Respir.Crit.Care Med.. 152:1835-1846, 1995
- 21.Ramanathan R., G.R. Mason and J.U. Raj. Effect of mechanical ventilation and barotrauma on pulmonary clearance of Tc-99m-DTPA in lambs. *Pediatr.Res.* 27:7074, 1990
- 22.Dreyfuss D., P. Soler and G. Saumon. Spontaneous resolution of pulmonary edema caused by short periods of cyclic overinflation. *J.Appl.Physiol.* 72:2081-2089, 1992
- 23.Esener Z.K.: Çocukların anestezi yönünden önemli anatomi ve fizyolojik özellikleri. *Pediatrik anestezi*, Samsun. Bölüm-2, s-12, 1995
- 24.Çelik M., Besler M.P., Helvacı A: Mekanik ventilasyonun temel kavramları ve terimleri-Mekanik Ventilation, Bölüm 3, s-30, 1998
- 25.Luce J.M. The cardiovascular effects of mechanical ventilation and positive end-expiratory pressure. *J.A.M.A.* 252:807-811, 1984
- 26.Dreyfuss D., P. Soler, G. Basset and G. Saumon. High inflation pressure pulmonary edema:respective effects of high airway pressure, high tidal volume and positive end-expiratory pressure. *Am.Rev.Respir.Dis.* 137:1159-1164, 1988
- 27.Dreyfuss D. and G. Saumon. Barotrauma is volutrauma, but which is the one responsible? *Intensive Care Med.* 18:139-141, 1992
- 28.Caldini P., J.D. Leith and M.J. Brennan. Effect of continous positive pressure ventilation (CPPV) on edema formation in dog lung. *J.Appl.Physiol.* 39:672-679, 1975
- 29.Colmenero-Ruiz M., E. Fernandez-Mondejar, M.A. Fernandez-Sacristan, R. Rivera-Fernandez and G. Vazquez-Mata. PEEP and low tidal volume ventilation reduce lung water in porcine pulmonary edema. *Am.J.Respir.Crit Care Med.* 155:964-970, 1997
- 30.Permutt S. Mechanical influences on water accumulation in the lungs. In A.P. Fishman and E.M. Renkin, editors. *Pulmonary edema: Clinical Physiology Series*. American Physiological Society, Bethesda, MD 175-193, 1979

- 31.** Muscedere T.G., Mullen J.B.M., Gan K. And Slutsky A.S: Tidal ventilation at low airway pressures can augment lung injury. *Am.J.Respir.Crit.Care.Med*; 149:1327-1334, 1994
- 32.** Tremblay L.N., Slutsky A.S: Mechanical ventilation - induced injury. In: Yearbook of Intensive Care Medicine. Ed. by: J.L. Vincent, Springer-Berlin. pp 466, 1998
- 33.** Argiras E.P., Blakeley C.R., Dunnill M S: High PEEP decreases hyaline membrane formation in surfactant deficite lungs. *Br.J.Anesth.*, 59: 1278-1285, 1987
- 34.** Matsuoka T., Kavano T., Miyasako K: Role of high-frequency ventilation in surfactant-depleted lung injury as measured by granulocytes. *Am.Physiological Society*, 94: 016-7567, 1994
- 35.** Wyszogrodski I., K. Kyei Aboagye, H.W. Tauecsh Jr. And M.E. Avery. Surfactant inactivation by hyperventilation: conservation by end-expiratory pressure. *J.Appl.Physiol*. 38:461-466, 1975
- 36.** Oyarzun M.J. and J.A. Clements. Control of lung surfactant by ventilation, adrenergic mediators and prostaglandines in the rabbit. *Am.Rev.Respir.Dis*. 117:879-891, 1978
- 37.** Faridy E.E .Effect of ventilation on movement of surfactant in airways. *Respir.Physiol*. 27:323-324, 1976
- 38.** Tierney D.F. and R.P. Johnson. Altered surface tension of lung extracts and lung mechanics. *J.Appl. Physiol*. 20: 1253-1260, 1965.
- 39.** Seeger W., C. Grube, A. Gunther and R. Schmidt. Surfactant inhibition by plasma proteins: differential sensitivity of various surfactant preparations. *Eur.Respir*. 6:971-977, 1993.
- 40.** Pattle R.E. Properties, fuction and origin of the alveolar lining layer. *Nature (Lond.)* 175:1125-1126, 1955.
- 41.** Clements J.A.. Pulmonary edema and permeability of alveolar membranes. *Arch.Environ.Health* 2 280-283, 1961.
- 42.** Albert R.K., S. Lakshminarayan, J. Hildebrandt, W. Kirk, and J Buttler. Increased surface tension favors pulmonary edema formation in anesthetized dogs lungs. *J.Clin.Invest*. 64:1015-1018,

1979.

43. Coker P.J., L.A. Hernandez, K.J. Peevy, K. Adkins, and C. Parker. Increased sensitivity to mechanical ventilation after surfactant inactivation in young rabbit lungs. *Crit. Care Med.* 20:635-640, 1992
44. Matsuoka T., Kavano T., Miyasako K: Role of high - frequency ventilation in surfactant - depleted lung injury as measured by granulocytes. *Am. Physiological Society*, 94: 016-7567, 1994
45. Tremblay L.N., Slutsky A.S: Mechanical ventilation - induced injury. In: Yearbook of Intensive Care and Emergency Medicine 1998 Ed. by: J.L. Vincent, *Springer-Berlin*. pp 463--465, 1998.
46. Tsuno K., K. Miura, M. Takey, T. Kolobow and T. Morioka. Histopathologic pulmonary changes from mechanical ventilation at high airway pressures. *Am.Rev.Respir.Dis.* 143:1115-1120, 1991
47. Mead J., T. Takishima and D. Leith. Stress distribution in lungs: a model of pulmonary elasticity. *J.Appl.Physiol.* 28:596-608, 1970.
48. Ravenscraft S.A., R.S. Shapiro, A.B. Adams, and J.J. Marini.. Dependent damage in ventilator induced lung injury (abstract). *Am.J.Respir.Crit Care Med.* 151 (Suppl.) :A551, 1995
49. Broccard A.F., R.S. Shapiro, L.L. Schmitz, S.A. Ravenscraft and J.J. Marini. Influence of prone position on the extent and distribution of lung injury in a high tidal volume oleic acid model of acute respiratory distress syndrome. *Crit.Care Med* 25:16-27. 1 51, 1997.
50. Tsuno K., P. Prato and T. Kolobow. Acute lung injury from mechanical ventilation at moderately high airway pressures. *J.Appl.Physiol.* 69:956-961, 1990
51. John E., M. McDevitt, W. Wilborn and G. Cassady. Ultrastructure of the lung after ventilation. *Br.J.Exp.Pathol.* 63:401-407, 1982..
52. Dreyfuss D., G. Basset, P. Soler and G. Saumon. Intermittent positive-pressure hyperventilation with high inflation pressures produces pulmonary microvascular injury in rats. *Am.Rev.Respir.Dis.* 132:880-884, 1985.
53. Behnia R., A. Molteni, C.M. Waters, R.J. Panos, W.F. Ward, H.W.

- Schnaper and C.H. TS'Ao. Early markers of ventilator-induced lung injury in rats. *Ann.Clin.Lab.Sci.* 26:437-450, 1996.
54. Gattinoni L, Pesenti A, Mascheroni D, Marcolin R, Fumagalli R, Rossi F, Iapicino G, Rornagnoli G, Uziel L, Agostoni A, Kolobow T, Damia G. Low frequency positive pressure ventilation with extracorporeal CO₂ removal in severe acute respiratory failure. *J.A.M.A.* 256:881-886, 1986.
55. Stewart T.E., Slutsky A.S. Mechanical ventilation; A shifting philosophy-current science, *Inten. Care Med* 1; 49-56. 1995
56. Gattinoni L, Pesenti A, and Bambino M: Relationships between lung computed tomographic density, gas exchange and PEEP in acute respiratory failure. *Anesth* 69; 824-832, 1998.
57. Dreyfuss D., Soler P., Baset G. and Saumon G. High inflation pressure pulmonary edema. *Am. Rev. Respir. Dis.* 137; 1169-1174, 1986.
58. Argiras E.P., Blakeley C.R., Dunnill M.S: High PEEP decreases hyaline membran formation in surfactant deficient lungs. *Br. J. Anaesth.*, 59: 1278-1285, 1987
59. Tsuno K., Miura K. and Kolobow T. Histopathologic pulmonary changes from mechanical ventilation at high peak airway pressures. *Am. Rev. Respir. Dis*; 143: 1115-1120, 1991

SCOTTISH UNIVERSITIES
SERIALS SECTION LIBRARIES